

Bachelorarbeit

Marcel Soika

Entwurf und Realisierung eines Teststands für
Schrittmotorsteuerungen des Typs Phytron ZMX

*Hochschule für Angewandte Wissenschaften Hamburg
Fakultät Technik und Informatik
Department Informations- und Elektrotechnik*

*Hamburg University of Applied Sciences
Faculty of Computer Science and Engineering
Department Information and Electrical Engineering*

Marcel Soika

Entwurf und Realisierung eines Teststands für Schrittmotorsteuerungen des Typs Phytron ZMX

Bachelorarbeit eingereicht im Rahmen der Bachelorprüfung
im Bachelorstudiengang Elektro- und Informationstechnik
am Department Informations- und Elektrotechnik
der Fakultät Technik und Informatik
der Hochschule für Angewandte Wissenschaften Hamburg

Betreuender Prüfer: Prof. Dr. rer. nat. Björn Lange
Zweitgutachter: Dipl. Ing. Julia Müller

Eingereicht am: 14.09.2021

Marcel Soika

Thema der Arbeit

Entwurf und Realisierung eines Teststands für Schrittmotorsteuerungen des Typs Phytron ZMX

Stichworte

ZMX-Überrahmen, Motorsteuerung, LabVIEW, Teststand, Schrittmotor, Arduino, Ansteuerung

Kurzzusammenfassung

Der ZMX-Überrahmen, mit dem sich bis zu 16 Schrittmotoren ansteuern lassen, läuft nicht immer fehlerfrei. Auf dieser Grundlage wird ein Teststand entwickelt, mit dem sich die Fehler leicht feststellen und klassifizieren lassen. Dies erleichtert die Fehlersuche und Reparatur. Zum Einsatz kommen mehrere Arduinos sowie LabVIEW für die Programmierung.

Marcel Soika

Title of Thesis

Design and implementation of a test stand for stepper motor controls of the Phytron ZMX type

Keywords

ZMX crate, motor control , LabVIEW, test stand, stepper motor, Arduino, control

Abstract

The ZMX crate, with which up to 16 stepper motors can be controlled, does not always run without errors. On this basis, a test stand is developed with which the errors can be easily identified and classified. This makes it easier to find and repair the errors. Several Arduinos and LabVIEW are used for programming.

Inhaltsverzeichnis

Abbildungsverzeichnis	vi
Tabellenverzeichnis	viii
1 Einleitung	1
2 Zielsetzung	4
3 Konzeption	5
3.1 Auswahl der zu überwachenden Signale	5
3.2 Auswahl der Software für die grafische Bedienoberfläche des Teststands	6
3.3 Auswahl der Hardware	6
3.4 Schematischer Testaufbau	7
4 Technische Umsetzung	8
4.1 Ansteuerung der Schrittmotoren	8
4.2 Signalüberwachung	12
4.2.1 Überwachung von Signalen im ZMX-Überrahmen	12
4.2.2 Überwachung der Netzteilspannungen im ZMX-Überrahmen	13
4.3 Entwicklung der Testbox	14
4.3.1 Ansteuerung des ZMX-Überrahmens	16
4.3.2 Spannungsversorgung der Testbox	16
4.3.3 Fehlersignale der ZMX-Endstufen	16
4.3.4 Endlagenschalter für vier Schrittmotoren	17
4.3.5 Mikrocontroller für die Signalüberwachung und Auswertung	17
4.4 Programmiertechnische Umsetzung in LabVIEW	18
4.4.1 Auswahl der USB Ports für die Testbox und das Oszilloskop	20
4.4.2 Auswahl der Datei für das Fehlerprotokoll	20
4.4.3 Einstellung der Oszilloskop-Kanäle	21
4.4.4 Messung der Einschaltflanken von zwei Netzteilen	23
4.4.5 Einstellung und Anzeige der maximalen Anzahl an gleichzeitig laufenden Schrittmotoren	25
4.4.6 Bedienelemente für den Start und laufenden Betrieb des Teststands	26
4.4.7 Bedienelemente für die Steuerung der Schrittmotoren im manuel- len Modus	27
4.4.8 Signalisierung von aufgetretenen Fehlern	30

4.5 Fehlerprotokollierung	34
5 Verifizierung	35
5.1 Schrittmotorsteuerung	35
5.2 Funktion des Programms zur Signalüberwachung	35
5.3 Fehlererkennung beim Betrieb des Teststands	36
6 Zusammenfassung und Ausblick	38
Literatur	40
A Anhang	41
A.1 Quellcode	41
A.1.1 Programm für die Schrittmotoransteuerung auf dem Arduino Me- ga2560 Entwicklungsboard	41
A.1.2 Programm für die Schrittmotoransteuerung auf den Arduino Na- no Entwicklungsboards	48
A.1.3 Programm für die Signalüberwachung auf dem Arduino Mega2560 Entwicklungsboard	49
A.2 Leiterplatten für die Testbox	51
A.2.1 Schaltplan der Hauptleiterplatte der Testbox	51
A.2.2 Layout der Hauptleiterplatte der Testbox	53
A.2.3 Schaltplan der Adapterleiterplatte der Testbox	54
A.2.4 Layout der Adapterleiterplatte der Testbox	55
Selbstständigkeitserklärung	56

Abbildungsverzeichnis

1.1	Abbildung eines ZMX-Überrahmens [3]	3
1.2	Übersichtsplan eines ZMX-Überrahmens [3]	3
3.1	Blockschaltbild für den Aufbau des entwickelten Teststands	7
4.1	Struktogramm des Programms Motoransteuerung I2C-Master	9
4.2	Struktogramme der Funktionen vom Programm Motoransteuerung I2C-Master	10
4.3	Struktogramm Motoransteuerung I2C-Slave	11
4.4	Struktogramm Signalüberwachung	12
4.5	Blockschaltbild der Testbox	14
4.6	Frontplatte der Testbox	15
4.7	Seitenansicht der Testbox	15
4.8	Rückseite der Testbox	15
4.9	Innenansicht der Testbox	15
4.10	Struktogramm LabVIEW	18
4.11	Frontpanel LabVIEW	19
4.12	Combo-Boxen zur Auswahl der USB Ports für die Testbox und das Oszilloskop	20
4.13	Auswahl der Datei für das Fehlerprotokoll	20
4.14	Auswahl des Dateinamens und des Dateipfads für das zu erstellende Fehlerprotokoll	21
4.15	Push-Buttons zur Aktivierung der Oszilloskop-Kanäle	21
4.16	Aktivierung und Konfiguration der vier Oszilloskop-Kanäle	22
4.17	Oszillograph der gemessenen Einschaltflanken	23
4.18	Dialogfeld für die Einstellung zur Aktivierung der Einschaltflankenmessung	23
4.19	Konfiguration der Oszilloskop-Kanäle und Speichern der gemessenen Werte für die Einschaltflankenmessung	24
4.20	Aufforderung zum Einschalten des ZMX-Überrahmens, durch eine Text-Variable	25
4.21	Einstellung und Anzeige der maximalen Anzahl an gleichzeitig laufenden Schrittmotoren	25
4.22	Bedienelemente für den Start und laufenden Betrieb des Teststands	26
4.23	Starten des Betriebsmodus durch Senden des jeweiligen Kommandos an den Arduino Mega2560 (Motoransteuerung)	27

4.24	Bedienelemente für die Steuerung der Schrittmotoren im manuellen Modus	27
4.25	Senden des konkatenierten String mit Informationen über Drehrichtung und Geschwindigkeit an den Arduino Mega2560 (Motoransteuerung)	29
4.26	Fehleranzeige und Oszillograph für Spannungsverläufe zum Fehlerzeitpunkt	30
4.27	LED zur Fehlersignalisierung bei keinem aufgetretenen Fehler (links) und aufgetretenem Fehler (rechts)	31
4.28	Ausschnitt des Blockdiagramms vom SubVI „ZMX_Spannungsmessung“	31
4.29	Ausschnitt des Blockdiagramms vom SubVI „ZMX_Spannungsmessung“	32
4.30	Gemessene Netzteilspannungen zum Fehlerzeitpunkt im Oszillographen in LabVIEW darstellen und als Excel-Tabelle abspeichern	33
4.31	Ausschnitt des Blockdiagramms vom SubVI „ZMX_Signalüberwachung“	34
5.1	Exemplarisches Fehlerprotokoll bei einer Fehlermeldung von Endlagenschaltern	36
5.2	Exemplarisches Fehlerprotokoll bei einer Fehlermeldung von ZMX-Endstufen	37
5.3	Exemplarisches Fehlerprotokoll bei einer Fehlermeldung von Netzteilspannungen	37
6.1	Aufgebauter Teststand im Betrieb mit allen Hardwarekomponenten	38

Tabellenverzeichnis

1.1	Verwendete Hard- und Software	2
-----	---	---

1 Einleitung

Die ZMX-Überrahmen sind beim DESY entwickelte und eingesetzte 19-Zoll-Einschübe mit diversen integrierten Modulen. Eine genaue Beschreibung der einzelnen Module ist in dem Praktikumsbericht „Analyse und Ansteuerung einer ZMX-Motorsteuerung“ zu finden [6].

An einem ZMX-Überrahmen können bis zu 16 Schrittmotoren angeschlossen werden, welche beim DESY für die Justierung von Optiksyste men, z.B. Linsen und Spiegel, verwendet werden. Die Optiksyste me dienen der Fokussierung und Ablenkung des Elektronenstrahls in den Beschleunigern.

Bei einigen dieser Überrahmen treten jedoch hin und wieder Fehler auf, deren Ursachen sich nicht immer auf Anhieb feststellen lassen. Daher soll nun ein Teststand entwickelt werden, welcher die Möglichkeit bietet, diese Überrahmen in einem Langzeittest zu beobachten.

Hierbei sollen verschiedene Signale des Überrahmens kontinuierlich erfasst und mit den Soll-Werten verglichen werden. Im Falle eines auftretenden Fehlers soll das System selbstständig abschalten und die Informationen der Signale protokollieren.

Für eine intuitive und optisch ansprechende Bedienung des zu entwickelnden Teststands wird das graphische Programmiersystem „LabVIEW“ von National Instruments verwendet [4].

In der folgenden Tabelle 1.1 sind alle für den Teststand verwendeten Soft- und Hardware Elemente aufgeführt.

Gerät	Bauteil/Baugruppe	Anzahl	
ZMX-Überrahmen	Anschlussmodule	4	
	Anschlussmodule	4	
	Anzeige Endlagen	1	
	ZMX-Endstufen	16	
	Backplane Endstufen	1	
	Backplane Anschlussmodule	1	
	Schrittmotoren	16	
	5 V Netzteil: DSP30-5	1	
	15 V Netzteil: DSP60-15	1	
	5 V Netzteil: DSP10-5	1	
	60 V Netzteil: EXW 60.25/OP1	1	
	Entwickelte Testbox	Arduino Mega2560	2
		Arduino Nano	4
Kondensator: 100 nF		8	
Widerstand: 390 Ω		16	
Widerstand: 3,3 k Ω		16	
Widerstand: 10 k Ω		1	
Optokoppler: HCPL2631		8	
ULN2803		1	
5 V Relais mit einem Schließerkontakt		8	
5 V Netzteil: VCE05US05		1	
9 V Netzteil: VCE10US09		1	
Kippschalter: Umschalter mit drei Kontakten		8	
Taster: Schließer mit zwei Kontakten		1	
Stufenschalter 4x2	1		
Oszilloskop	Tastköpfe	4	
Tektronix TPS 2024			
LabVIEW 2019	–	–	

Tabelle 1.1: Verwendete Hard- und Software

Die folgenden Abbildungen 1.1 und 1.2 zeigen einen ZMX-Überrahmen sowie den zugehörigen Übersichtsplan. Eine genauere Beschreibung der integrierten Module ist dem vorangegangenen Praktikumsbericht des Praxissemesters zu entnehmen [6].



Abbildung 1.1: Abbildung eines ZMX-Überrahmens [3]

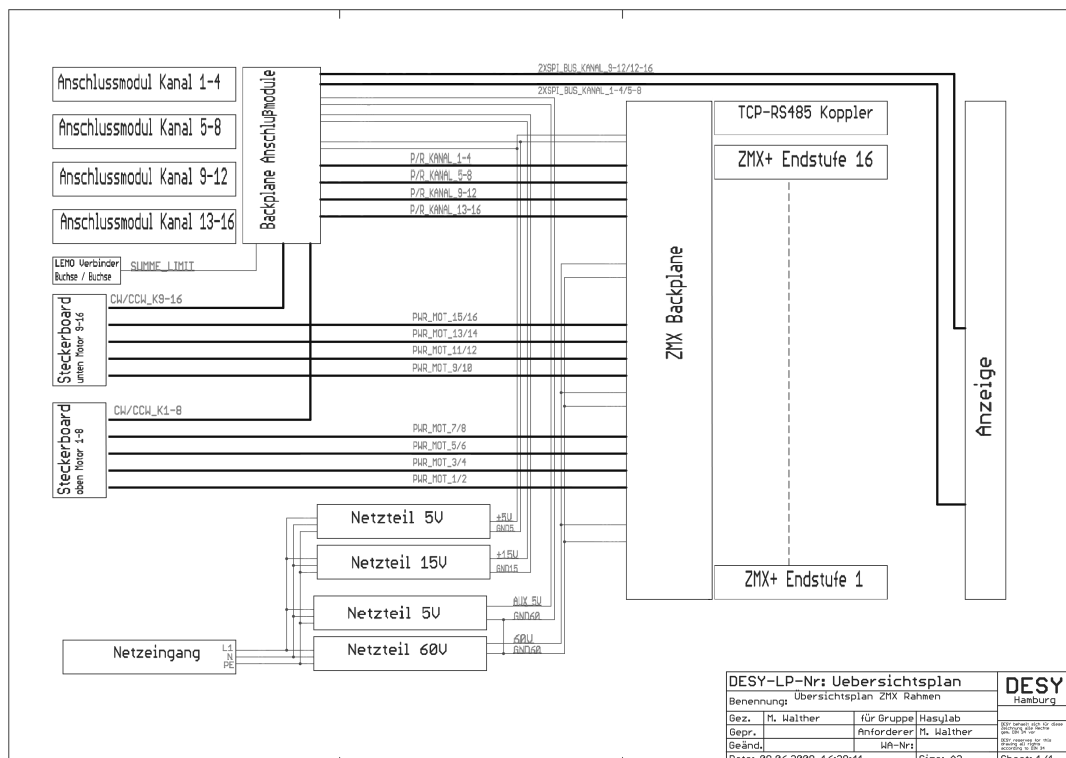


Abbildung 1.2: Übersichtsplan eines ZMX-Überrahmens [3]

2 Zielsetzung

Die Ansteuerung des ZMX-Überrahmens erfolgt über die vier integrierten Anschlussmodule mittels der Puls- und Richtungssignale. Hierzu werden die im Rahmen des Praxissemesters bereits entwickelten Programme verwendet [6].

Die Ansteuerung der am ZMX-Überrahmen angeschlossenen Schrittmotoren soll hierbei sowohl automatisch als auch manuell erfolgen können.

Die Bedienung des Teststands soll mit LabVIEW realisiert werden.

Da die Reihenfolge der Einschaltflanken zweier im ZMX-Überrahmen integrierter Netzteile in der Vergangenheit schon zu Fehlern geführt hat, soll es am Teststand die Möglichkeit geben, eben diese zu messen.

Die gemessenen Daten sollen anschließend tabellarisch protokolliert werden.

Um Spannungseinbrüche oder Schwankungen bei den vier im ZMX-Überrahmen verwendeten Netzteilen feststellen zu können, sollen diese ebenfalls während des Betriebs des Teststands gemessen werden. Im Fehlerfall sollen die Spannungswerte zu diesem Zeitpunkt tabellarisch gesichert werden.

Des Weiteren soll eine kontinuierliche Erfassung des Fehlersignals von allen 16 ZMX-Endstufen erfolgen, um auftretende Fehler innerhalb einer Endstufe erkennen zu können. Eine genauere Beschreibung des Fehlersignals folgt unter 3.1.

Zur Überprüfung der fehlerfreien Auswertung von den Signalen der Endlagenschalter der Schrittmotoren werden diese Schalter mittels Kippschaltern simuliert. Das jeweilige eingestellte Signal wird kontinuierlich mit dem zugehörigen Signal, ausgehend von den Anschlussmodulen, verglichen.

Des Weiteren sollen alle auftretenden Fehler sowie die zu diesem Zeitpunkt angesteuerten Motoren in einem Fehlerprotokoll gespeichert werden. Anschließend soll das System selbständig abschalten und signalisieren, dass beim Test Fehler aufgetreten sind.

3 Konzeption

3.1 Auswahl der zu überwachenden Signale

Für die Auswahl der zu überwachenden Signale sind verschiedene Aspekte ausschlaggebend. Zum Einen wird analysiert, welche Signale oder Werte sinnvoll für eine Fehlererkennung sind. Zum Anderen muss geprüft werden, welche Signale gut messbar sind und wo die Messung keine zusätzlichen Störungen verursacht.

Die Netzteilspannungen lassen sich ohne großen Aufwand beim Messaufbau erfassen und sind in jedem Fall sinnvoll zu überwachen, da Kurzschlüsse innerhalb des Überraumens, die zu Spannungseinbrüchen führen können, erfasst werden. Außerdem ist es wichtig das Einschaltverhalten des 5 V Netzteils (DSP30-5) und des 15 V Netzteils (DSP60-15) zu überprüfen, da eine falsche Reihenfolge der Einschaltflanken in der Vergangenheit bereits zu fehlerhaftem Verhalten geführt hat.

Es ist ebenfalls wichtig, die Fehlersignale der ZMX-Endstufen zu überwachen. Ein Fehlersignal wird ausgelöst, wenn eine ZMX-Endstufe eine zu hohe Temperatur (höher als 90 °C), eine zu geringe Versorgungsspannung (weniger als 22 V) oder einen zu hohen Strom (größer als 30 A) erkannt hat [7]. Eine genaue Information welcher dieser Fehler erfasst wurde, liefert dieses Signal jedoch nicht. Diese Information lässt sich nur über den Service-Bus ermitteln. Die Fehlersignale sind mit geringem Aufwand in Form von Adapter-Kabeln gut erreichbar.

Des Weiteren kann es zu Fehlern bei den Signalen der Endlagenschaltern der Schrittmotoren kommen. Die Anzeige dieser Signale wird von dem Modul „Anzeige Endlagen“ übernommen [6]. Diese Anzeige wird über einen SPI-Bus, ausgehend von den Anschlussmodulen, gesteuert. Da diese Busleitungen jedoch recht störanfällig sind, insbesondere wenn die Leitungen durch den Messaufbau deutlich verlängert werden müssen, ist eine direkte Überwachung des Bus-Protokolls nicht sinnvoll. Außerdem bedeutet eine Bus-Überwachung in diesem Fall auch einen erheblichen Entwicklungs- und Hardwareaufwand: Zum einen handelt es sich hierbei um vier separate SPI-Busse. Zum anderen arbeitet der SPI-Bus seriell und innerhalb verschiedener Module des Überraumens werden jeweils weitere Signale, unter Verwendung serieller Bausteine wie z.B. 74HC165D, zu dem Bus hinzugefügt.

Somit ist eine einfache Signalerfassung direkt am Zugriffspunkt nicht möglich, es müsste ein direkter Abgriff am Mikrocontroller des Anschlussmoduls erfolgen, was technisch nur mit sehr hohem Aufwand zu realisieren ist.

Die Signale der Endlagenschalter sind jedoch auch über die SCSI-Buchsen der Anschlussmodule erreichbar, was einen erheblich geringen Aufwand bedeutet. Um die Richtigkeit dieser Signale kontinuierlich zu überprüfen und bestätigen, werden Endlagenschalter für vier Schrittmotoren in Form von Kippschaltern simuliert und das eingestellte Signal mit dem zugehörigen der Anschlussmodule verglichen.

Im Folgenden sind alle zu messenden Signale aufgelistet.

- Messung der Einschaltflanken der Netzteile DSP30-5 und DSP60-15
- kontinuierliche Spannungsmessung aller vier sich im ZMX-Überrahmen befindenden Netzteile
- Überwachung des Fehlersignals von allen 16 ZMX-Endstufen
- Überwachung der Endlagenschalter-Signale von vier wählbaren Schrittmotoren

3.2 Auswahl der Software für die grafische Bedienoberfläche des Teststands

Als Software für die grafische Bedienoberfläche des Teststands wird LabVIEW verwendet, welche zum DESY-internen Standard gehört. Die Programmierung in LabVIEW erfolgt in Blockdiagrammen und ist somit intuitiv zu verstehen und zu programmieren.

3.3 Auswahl der Hardware

Für die Überwachung der Netzteilspannungen des ZMX-Überrahmens bietet sich das Oszilloskop mit der Bezeichnung TPS 2024 des Herstellers Tektronix an [10]. Dieses verfügt über vier differentielle Messeingänge, was für diesen Anwendungsfall von Vorteil ist, da drei der vier Netzteile des ZMX-Überrahmens unterschiedliche Massebezüge haben. Somit lassen sich die Tastköpfe für die Messung vom Oszilloskop direkt an den Netzteilausgängen anschließen. Des Weiteren verfügt dieses Oszilloskop über eine RS232-Schnittstelle [8], worüber das Oszilloskop ferngesteuert und Werte ausgelesen werden können. Diese Funktion ermöglicht die Steuerung des Oszilloskops über LabVIEW.

Für die Überwachung und Auswertung der ausgewählten internen Signale des ZMX-Überrahmens wird wieder, wie auch für die Ansteuerung des Überrahmens, ein Entwicklungsboard des Typs Arduino Mega2560 verwendet. Die USB-Schnittstelle des Boards ermöglicht eine serielle Kommunikation mit LabVIEW. Die 54 I/O-Pins des sich darauf befindenden Mikrocontrollers vom Typ ATMEGA2560 sind ausreichend, um die 32 digitalen Eingangssignale, bestehend aus 16 Fehlersignalen sowie 16 Signale für die

Endlagenschalter (8 Signale von den Anschlussmodulen, 8 Signale von den Simulierten Endlagenschaltern), zu erfassen und auszuwerten [1].

3.4 Schematischer Testaufbau

Die nachfolgende Abbildung 3.1 zeigt das Blockschaltbild für den Teststand. Bei der „Testbox“ handelt es sich um eine Eigenentwicklung, welche im Folgenden unter 4.3 genau beschrieben wird.

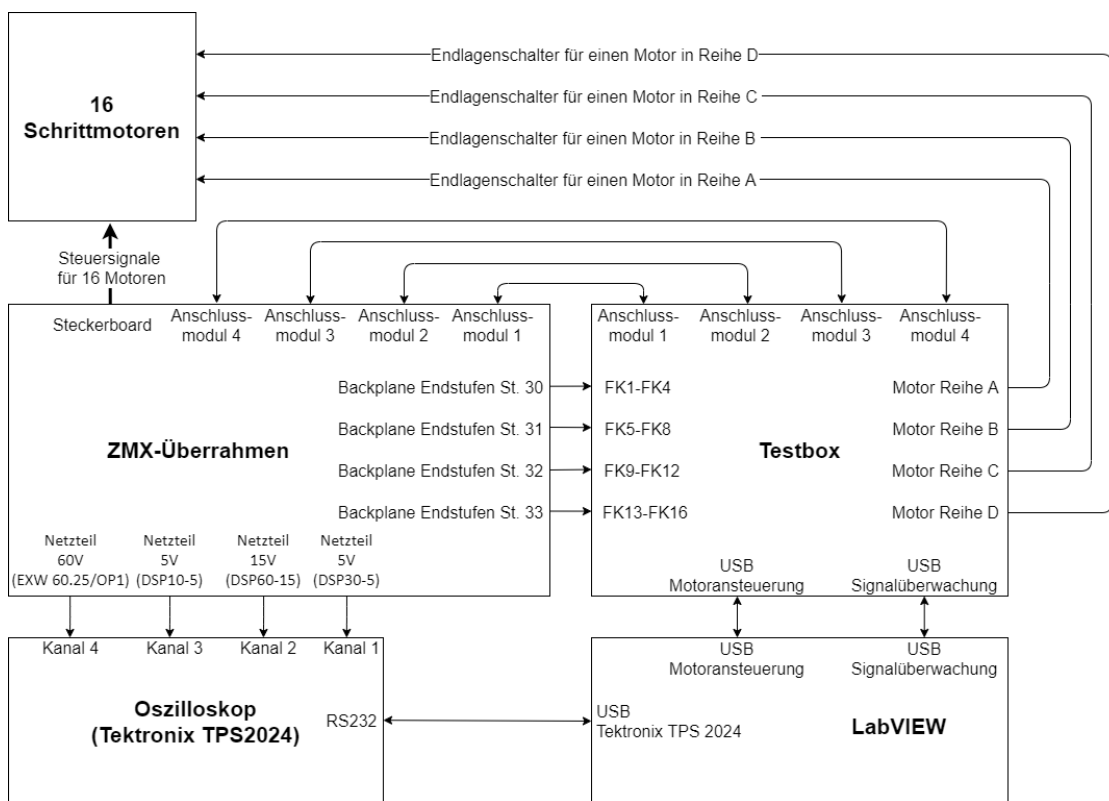


Abbildung 3.1: Blockschaltbild für den Aufbau des entwickelten Teststands

4 Technische Umsetzung

4.1 Ansteuerung der Schrittmotoren

Die folgenden Struktogramme [4.1](#), [4.2](#) und [4.3](#) zeigen die Funktionsweise der Ansteuerung der Schrittmotoren über die Anschlussmodule eines ZMX-Überrahmens. Diese Ansteuerung wurde bereits im Rahmen des vorangegangenen Praxissemesters entwickelt [[6](#)].

In den Abbildung [4.1](#) und [4.2](#) ist die Funktion des I2C-Masters dargestellt. Dieser übernimmt zum einen die Aufgabe, die Informationen für die Motorgeschwindigkeiten an die vier am I2C-Bus angeschlossenen Slaves weiterzugeben, zum anderen die serielle Kommunikation über USB mit LabVIEW.

Der Betriebsmodus lässt sich zwischen „automatik_1“, „automatik_2“ und „manuell“ wählen. Da die Schrittmotoren im realen Betrieb „zufällig“ eingeschaltet werden, ist hierbei zwischen zwei Automatik-Modi wählbar, die dieses Verhalten simulieren.

In dem Modus „automatik_1“ erfolgt die Ansteuerung der Schrittmotoren nach dem Muster des binären Zahlensystems. Alle Motoren, bei denen eine 1 gesetzt ist, fahren zeitgleich an. Je nachdem, welchen Wert die Variable „max_motoren“ annimmt (1 bis 8), gibt es $2^{\text{max_motoren}}$ mögliche Kombinationen der angesteuerten Schrittmotoren.

In dem Modus „automatik_2“ erfolgt die Ansteuerung der Schrittmotoren über mathematische Permutationsmuster. Hierbei werden, abhängig von der Variable „max_motoren“, genau so viele Motoren angesteuert. Die Motoren werden sequenziell zugeschaltet und in umgekehrter Reihenfolge wieder ausgeschaltet.

In dem manuellen Betriebsmodus lassen sich die Motoren in beliebiger Kombination nacheinander oder gemeinsam ansteuern.

Der zugehörige Quellcode ist im Anhang unter [A.1.1](#) zu finden.

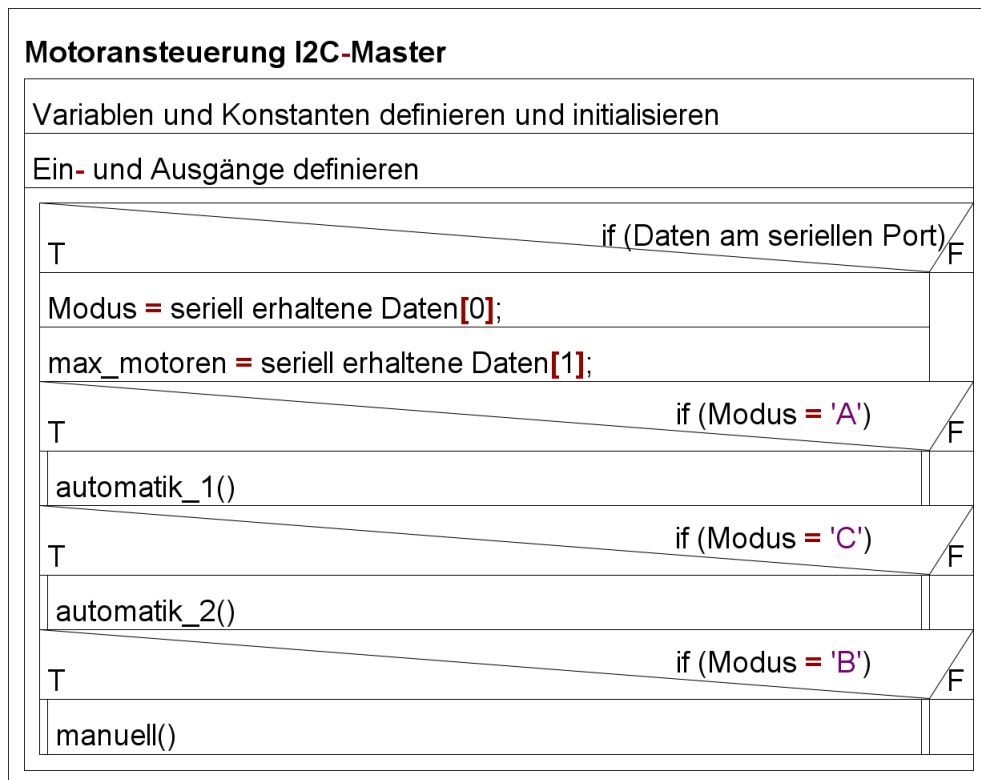


Abbildung 4.1: Struktogramm des Programms Motoransteuerung I2C-Master

Die Abbildung 4.3 zeigt die Funktion des Programms für die Motoransteuerung von vier Schrittmotoren mittels Pulssignalen. Die Geschwindigkeit eines Motors wird durch die Frequenz des jeweiligen Pulssignals bestimmt. Je höher die Frequenz ist, desto schneller dreht sich der Motor.

Der zugehörige Quellcode ist im Anhang unter A.1.2 zu finden.

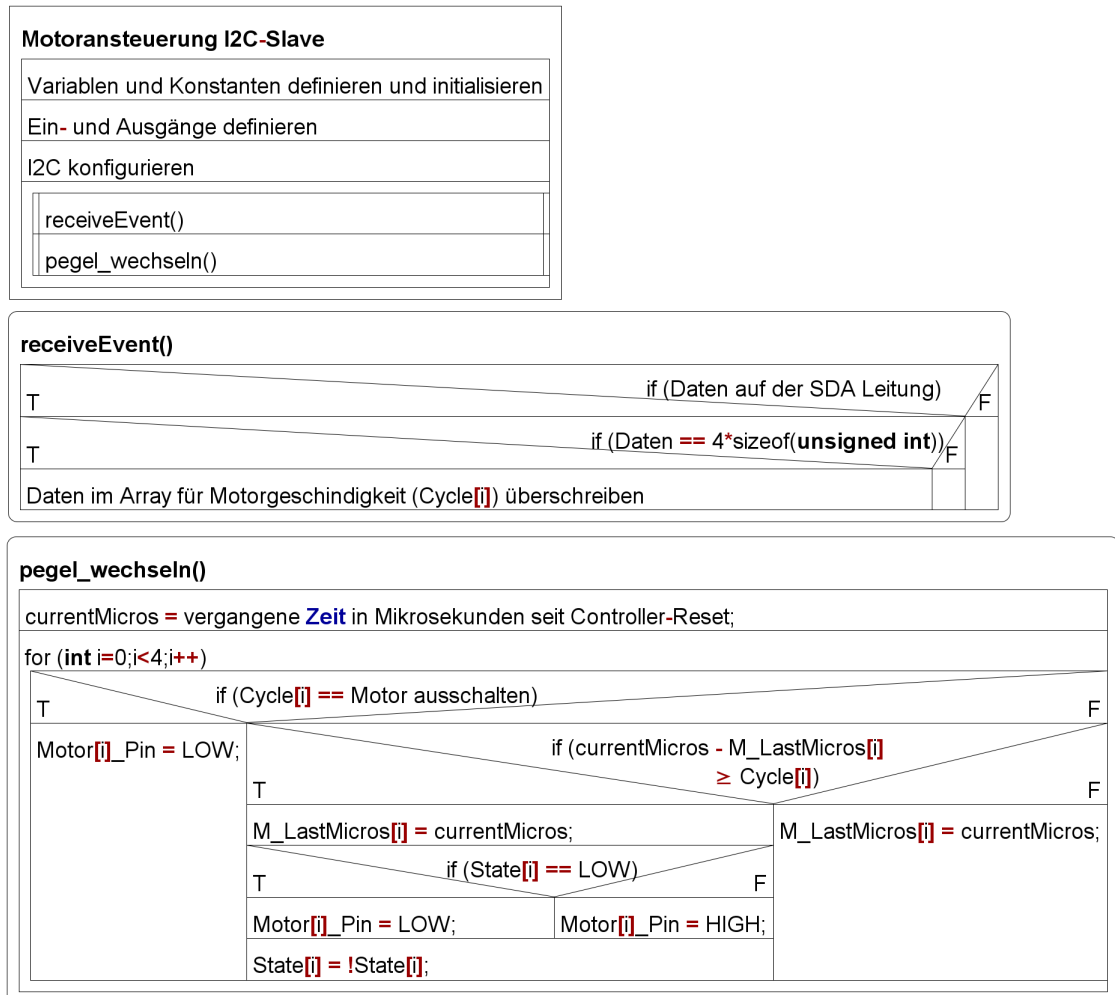


Abbildung 4.3: Struktogramm Motoransteuerung I2C-Slave

4.2 Signalüberwachung

4.2.1 Überwachung von Signalen im ZMX-Überrahmen

Die Überwachung der Fehlersignale der ZMX-Endstufen sowie der Signale der Endlagenschalter der Schrittmotoren erfolgt unter Verwendung des Mikrocontrollers des Arduino Mega2560 (Signalüberwachung).

Das folgende Struktogramm in der Abbildung 4.4 beschreibt den Programmablauf. Der zugehörige Programmcode befindet sich im Anhang unter A.3.

Das Entwicklungsboard Arduino Mega2560 kommuniziert über die integrierte USB Schnittstelle mit dem LabVIEW Programm „ZMX_Ueberrahmen_Pruefprogramm“. Hierbei wartet der Mikrocontroller zunächst auf das Startsignal von LabVIEW. Anschließend werden kontinuierlich die Fehlersignale der ZMX-Endstufen sowie die Signale der Endlagenschalter der Schrittmotoren überwacht. Sollte bei irgendwelchen Signalen ein Fehler aufgetreten sein, wird dieser in Textform in einem String gespeichert. Alle weiteren aufgetretenen Fehler werden mittels Konkatination zu dem String hinzugefügt und anschließend über die USB-Schnittstelle an LabVIEW gesendet. Abschließend wird die Startbedingung zurückgesetzt und es wird erneut auf das Startsignal von LabVIEW gewartet.

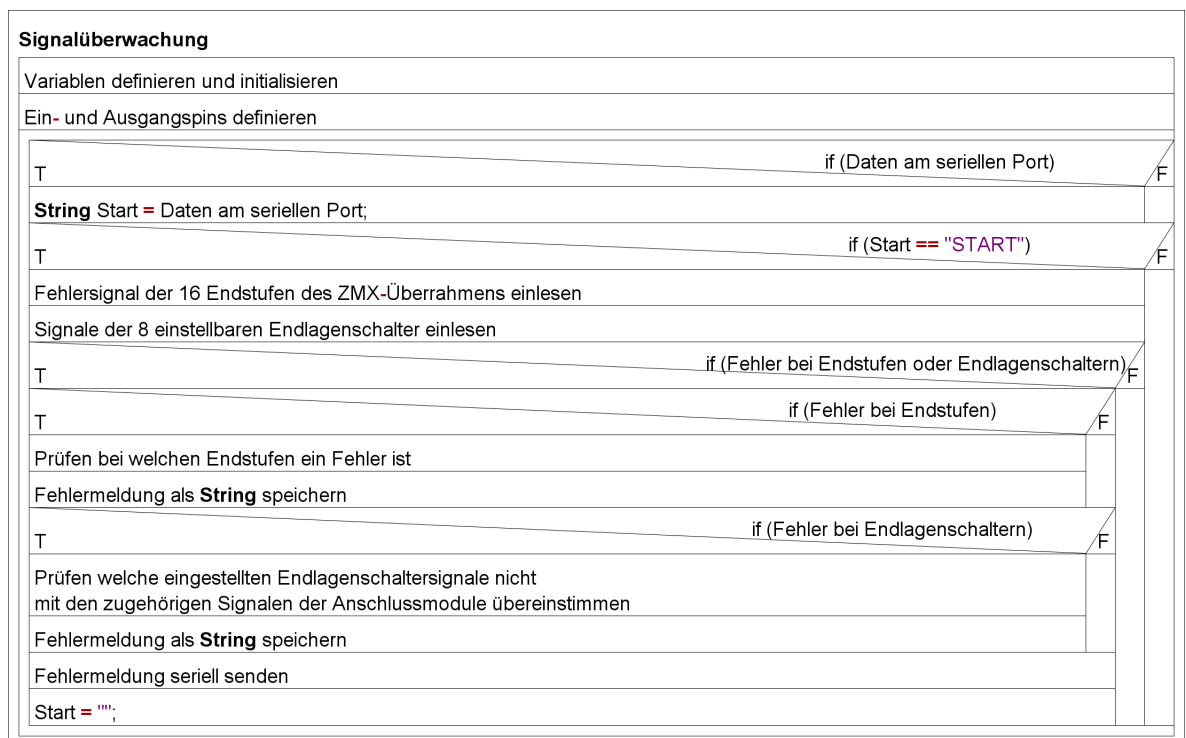


Abbildung 4.4: Struktogramm Signalüberwachung

4.2.2 Überwachung der Netzteilspannungen im ZMX-Überrahmen

Die Überwachung der Netzteilspannungen der vier Netzteile eines ZMX-Überrahmens ist mit dem Oszilloskop Tektronix TPS 2024 realisiert. Da die Auswertung der gemessenen Spannungswerte vom LabVIEW Programm übernommen wird, ist die Zuordnung vom Messkanal des Oszilloskop zum Netzteil vorgegeben. Der Kanal 1 wird am Netzteil DSP30-5, Kanal 2 am DSP60-15, Kanal 3 am DSP10-5 und Kanal 4 am Netzteil EXW 60.25/OP1 angeschlossen.

Da das Oszilloskop über eine RS232-Schnittstelle verfügt, wird zur Kommunikation mit LabVIEW ein Kabel verwendet, welches einen integrierten RS232 zu USB-Adapter enthält.

Die Konfiguration und Steuerung des Oszilloskops erfolgt ausschließlich vom LabVIEW Programm „ZMX_Ueberrahmen_Pruefprogramm“.

Die Spannungen dürfen die in [4.4.8](#) eingestellten Schwellwerte nicht über- bzw. unterschreiten.

4.3 Entwicklung der Testbox

Die folgende Abbildung 4.5 zeigt das Blockschaltbild der entwickelten Testbox.

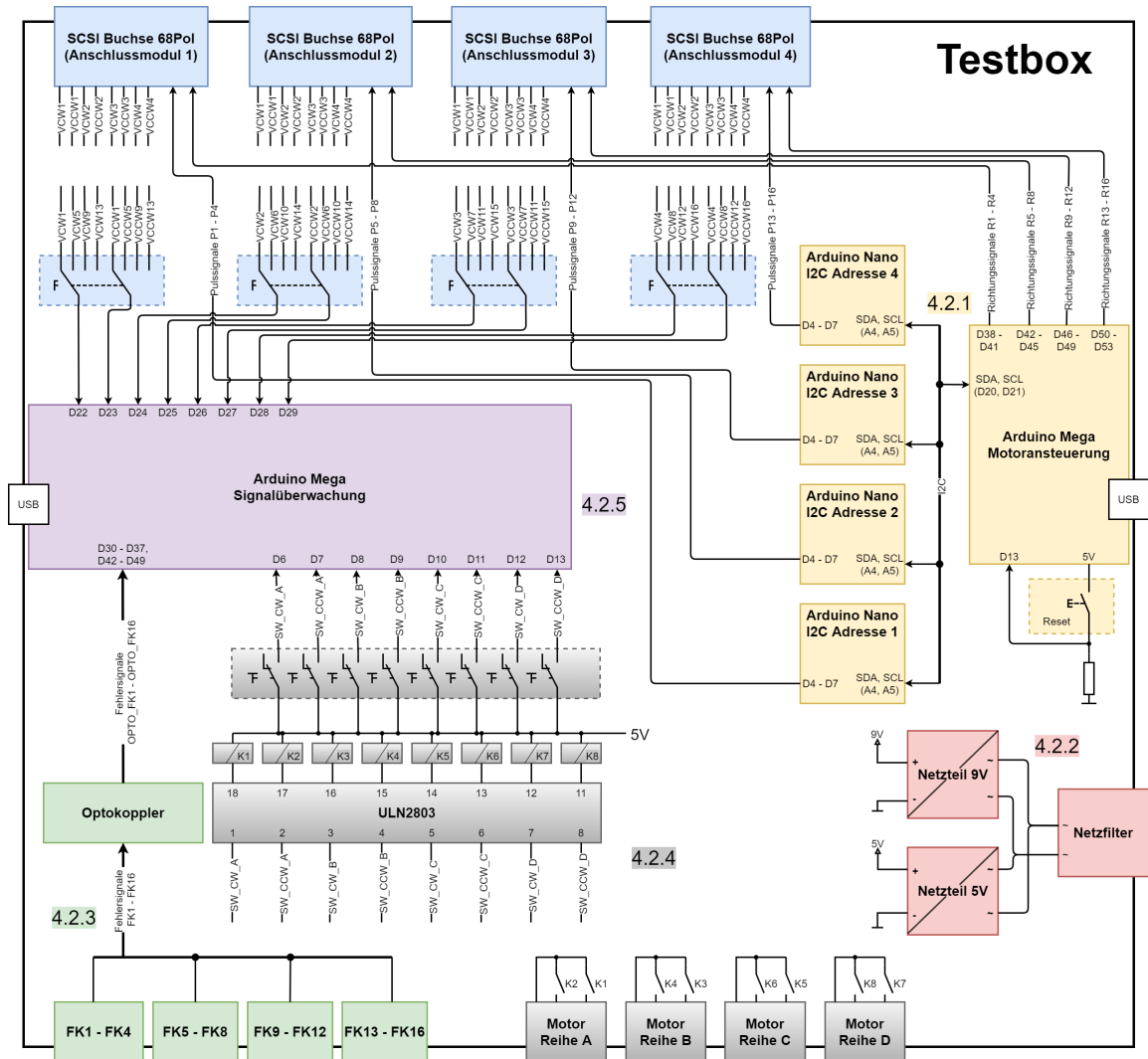


Abbildung 4.5: Blockschaltbild der Testbox

Alle dargestellten Taster und Schalter zur Bedienung befinden sich in der Frontplatte der Testbox.

Für die Auswahl der Bauteilwerte sowie der Schaltung von den Optokopplern und den Relais, wird sich an bereits bestehenden und bewährten Schaltungen vom DESY orientiert [3].

In den folgenden Abbildungen 4.6 - 4.9 ist die real aufgebaute Testbox von verschiedenen Außenseiten sowie eine Innenansicht zu erkennen.

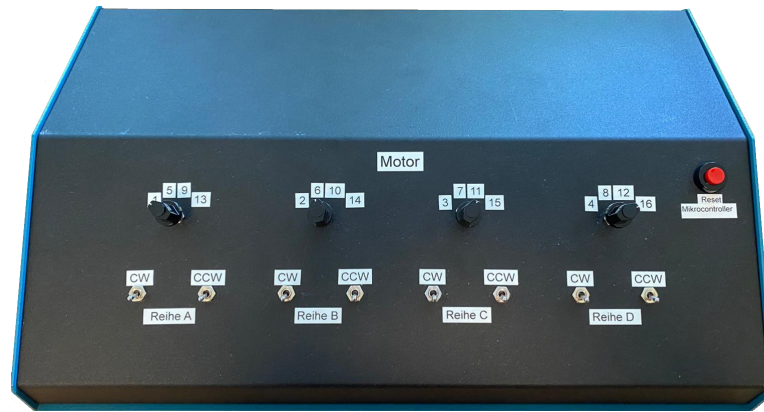


Abbildung 4.6: Frontplatte der Testbox

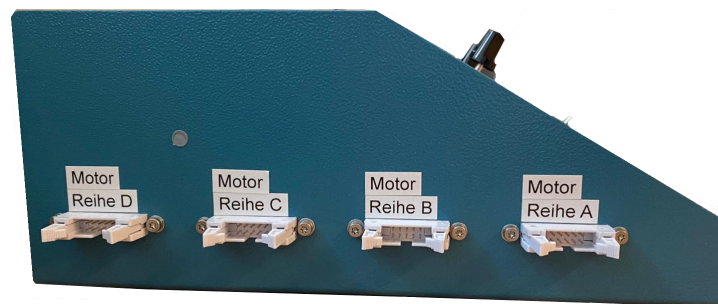


Abbildung 4.7: Seitenansicht der Testbox

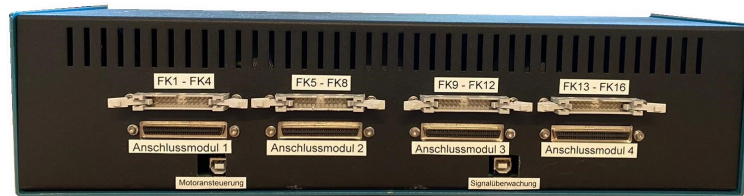


Abbildung 4.8: Rückseite der Testbox

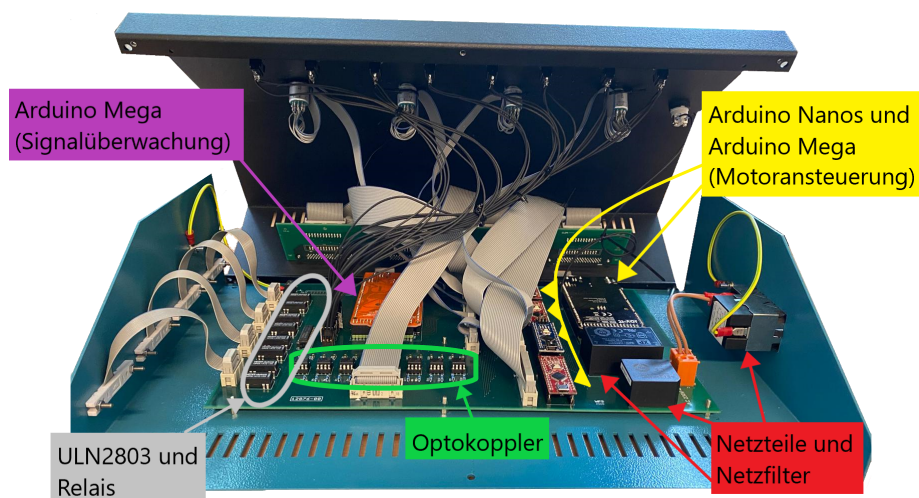


Abbildung 4.9: Innenansicht der Testbox

Im Folgenden werden die dargestellten Blöcke in nachstehender Reihenfolge beschrieben:

- Ansteuerung des ZMX-Überrahmens [4.3.1](#)
- Spannungsversorgung der Testbox [4.3.2](#)
- Fehlersignale der ZMX-Endstufen [4.3.3](#)
- Endlagenschalter für vier Schrittmotoren [4.3.4](#)
- Mikrocontroller für die Signalüberwachung und Auswertung [4.3.5](#)

4.3.1 Ansteuerung des ZMX-Überrahmens

Auf der rechten Seite in den gelb markierten Bereichen sind in [Abbildung 4.5](#) fünf Arduino Entwicklungsboards, welche für die Ansteuerung des ZMX-Überrahmens verwendet werden, zu finden. Die Kommunikation zwischen den vier Arduino Nanos mit dem gelb markierten Arduino Mega2560 erfolgt über das I2C-Protokoll. Ein Arduino Nano erzeugt die Pulssignale für vier Schrittmotoren und leitet diese an eine der im oberen Bereich des Blockschaltbilds zu findenden blau gekennzeichneten SCSI-Buchsen weiter. Über diese Buchsen erfolgt die Verbindung zum zugehörigen Anschlussmodul des ZMX-Überrahmens. Die Richtungssignale für alle 16 Schrittmotoren werden von dem gelb gekennzeichneten Arduino Mega2560 generiert. Hierbei werden immer vier Richtungssignale einer SCSI-Buchse zugeordnet.

In dem mit gelb gestrichelten Linien umrandeten Rechteck befindet sich ein Drucktaster, welcher für den Reset dieser fünf Mikrocontroller verwendet wird.

4.3.2 Spannungsversorgung der Testbox

Unten rechts in dem Blockschaltbild sind in roter Farbe ein Netzfilter sowie zwei Netzteile zu erkennen. Bei dem Netzfilter handelt es sich um ein Produkt vom Hersteller Schurter und ist aus der KMF-Serie. Das 9 V-Netzteil (VCE10US09) übernimmt die Spannungsversorgung der vier Arduino Nano Entwicklungsboards. Die empfohlene Betriebsspannung für diese Boards liegt zwischen 7 V und 12 V. Das 5 V-Netzteil (VCE05US05) versorgt die grau markierten Relais K1 bis K8, sowie die Ausgangsseite der grün markierten Optokoppler.

4.3.3 Fehlersignale der ZMX-Endstufen

Unten links befinden sich die Anschlussbuchsen für die Ausgabe der Fehlersignale FK1 bis FK16 der Endstufen des ZMX-Überrahmens. Da die Endstufen im ZMX-Überrahmen einen anderen Massebezug als die Anschlussmodule haben, werden die ankommenden

Signale über jeweils einen Optokoppler zum lila gekennzeichneten Arduino Mega2560 geleitet, um die galvanische Trennung der verschiedenen Massen beizubehalten.

4.3.4 Endlagenschalter für vier Schrittmotoren

In den grau markierten Bereichen befindet sich die Schaltungsrealisierung für die Endlagenschalter-Simulation für vier Schrittmotoren. In dem Rechteck mit den gestrichelten Linien sind acht Kippschalter zu erkennen. Ein Kippschalter simuliert die Endlage für eine Richtung eines Schrittmotors. Da die Schrittmotoren ebenfalls ein anderes Massepotential verwenden, müssen die Schalter galvanisch von der Masse innerhalb der Testbox getrennt werden. Dies geschieht durch Verwendung von Relais, welche jeweils über einen Schließerkontakt verfügen. Die Schaltung der Relais erfolgt über den Schaltbaustein ULN2803, welcher aus einem Darlington-Transistor-Array besteht.

Oben im Blockschaltbild, in den blauen Rechtecken mit den gestrichelten Linien, sind vier 4x2 Drehschalter zu erkennen. Die durchgeschalteten Signale dienen als Vergleichswerte für die Signale der simulierten Endlagenschalter.

4.3.5 Mikrocontroller für die Signalüberwachung und Auswertung

Der lila markierte Arduino Mega2560 hat die Funktion der Überwachung der dargestellten eingehenden Signale und deren Auswertung. Die Spannungsversorgung und der Datenaustausch mit LabVIEW erfolgt über die integrierte USB-Schnittstelle.

4.4 Programmiertechnische Umsetzung in LabVIEW

Der schematische Ablauf des LabVIEW Programms „ZMX_Ueberrahmen_Pruefprogramm“ ist dem Struktogramm in Abbildung 4.10 zu entnehmen.

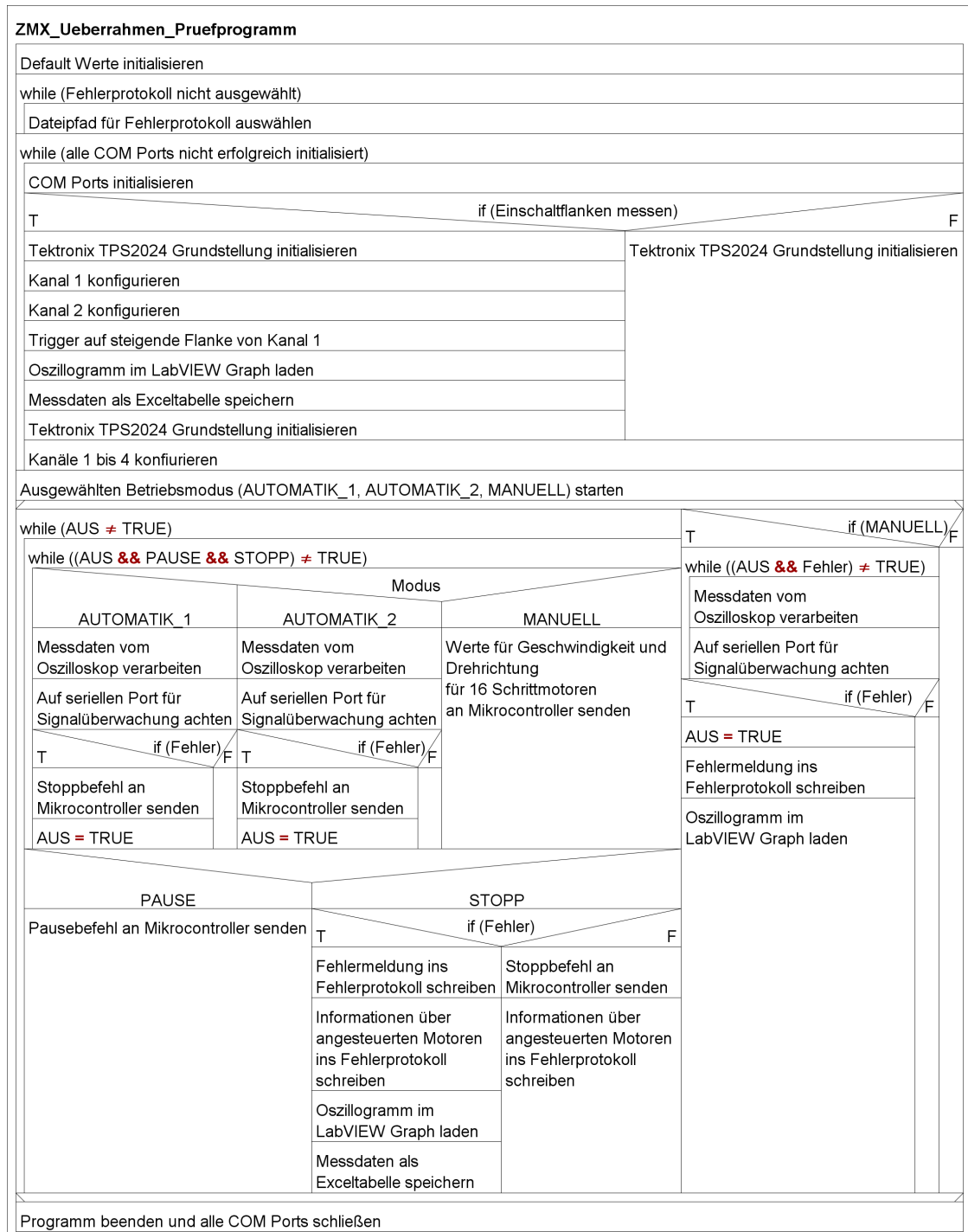


Abbildung 4.10: Struktogramm LabVIEW

Die folgende Abbildung 4.11 zeigt das in LabVIEW erstellte Frontpanel, welches die Bedienoberfläche des Teststands darstellt.

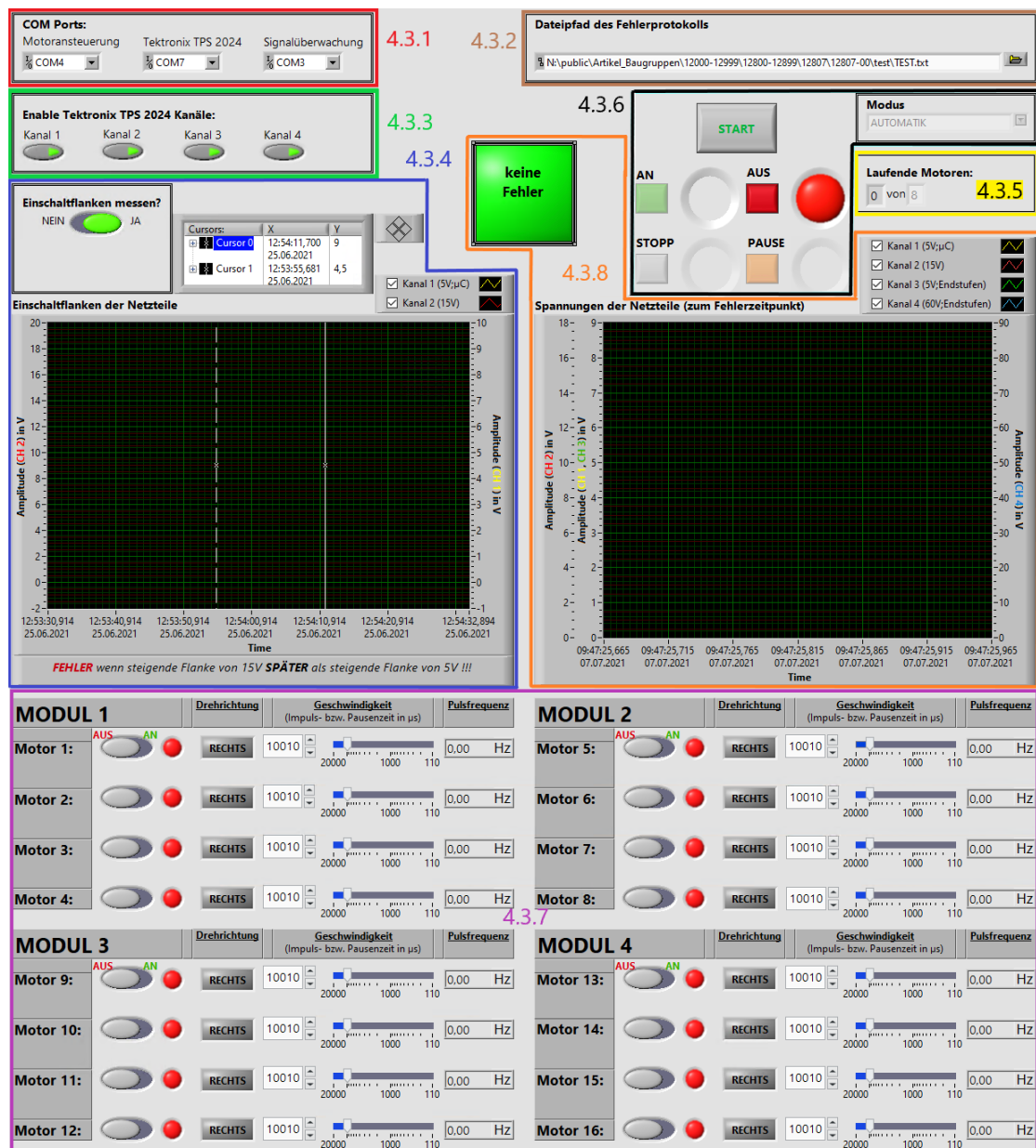


Abbildung 4.11: Frontpanel LabVIEW

Im Folgenden werden die einzelnen Funktionen der Bedienelemente in nachstehender Reihenfolge genauer beschrieben:

- Auswahl der USB Ports für die Testbox und das Oszilloskop [4.4.1](#)
- Auswahl der Datei für das Fehlerprotokoll [4.4.2](#)
- Einstellung der Oszilloskop-Kanäle [4.4.3](#)
- Messung der Einschaltflanken von zwei Netzteilen [4.4.4](#)
- Einstellung und Anzeige der maximalen Anzahl an gleichzeitig laufenden Schrittmotoren [4.4.5](#)
- Bedienelemente für den Start und laufenden Betrieb des Teststands [4.4.6](#)
- Bedienelemente für die Steuerung der Schrittmotoren im manuellen Modus [4.4.7](#)
- Signalisierung von aufgetretenen Fehlern [4.4.8](#)

4.4.1 Auswahl der USB Ports für die Testbox und das Oszilloskop

Die drei Combo-Boxen der Abbildung [4.12](#) dienen der Auswahl des jeweiligen USB Ports für die beiden Arduino Mega2560 in der Testbox sowie für das Oszilloskop Tektronix TPS 2024.

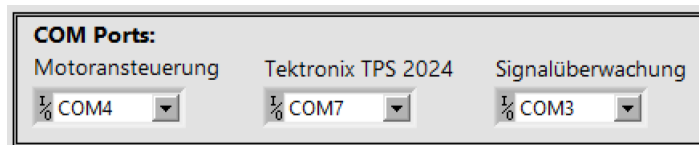


Abbildung 4.12: Combo-Boxen zur Auswahl der USB Ports für die Testbox und das Oszilloskop

4.4.2 Auswahl der Datei für das Fehlerprotokoll

Das in der Abbildung [4.13](#) dargestellte Auswahlfeld wird zur Angabe und Auswahl des Dateinamens und des Dateipfads vom Fehlerprotokoll verwendet.

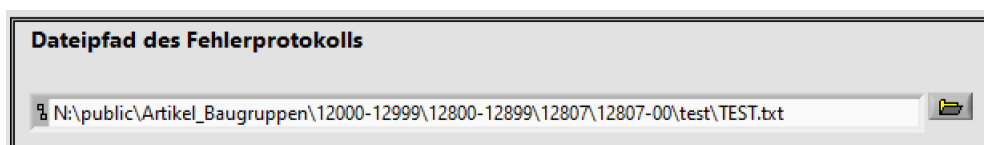


Abbildung 4.13: Auswahl der Datei für das Fehlerprotokoll

Die Auswahl erfolgt direkt zum Start des Programms und wird zusätzlich durch ein Dialogfeld hervorgerufen, in welchem der Benutzer aufgefordert wird eine Datei auszuwählen. Dieses Dialog schließt sich erst nachdem eine Datei ausgewählt wurde und lässt

sich nicht abbrechen.

Das Fehlerprotokoll wird als Textdatei mit der Endung „txt“ erstellt. Falls der Benutzer einen anderen oder keinen Dateityp angibt, wird nur der angegebene Dateiname übernommen und die Endung „txt“ angehängt.

Der folgende Programmausschnitt in der Abbildung 4.14 zeigt die Realisierung in LabVIEW.

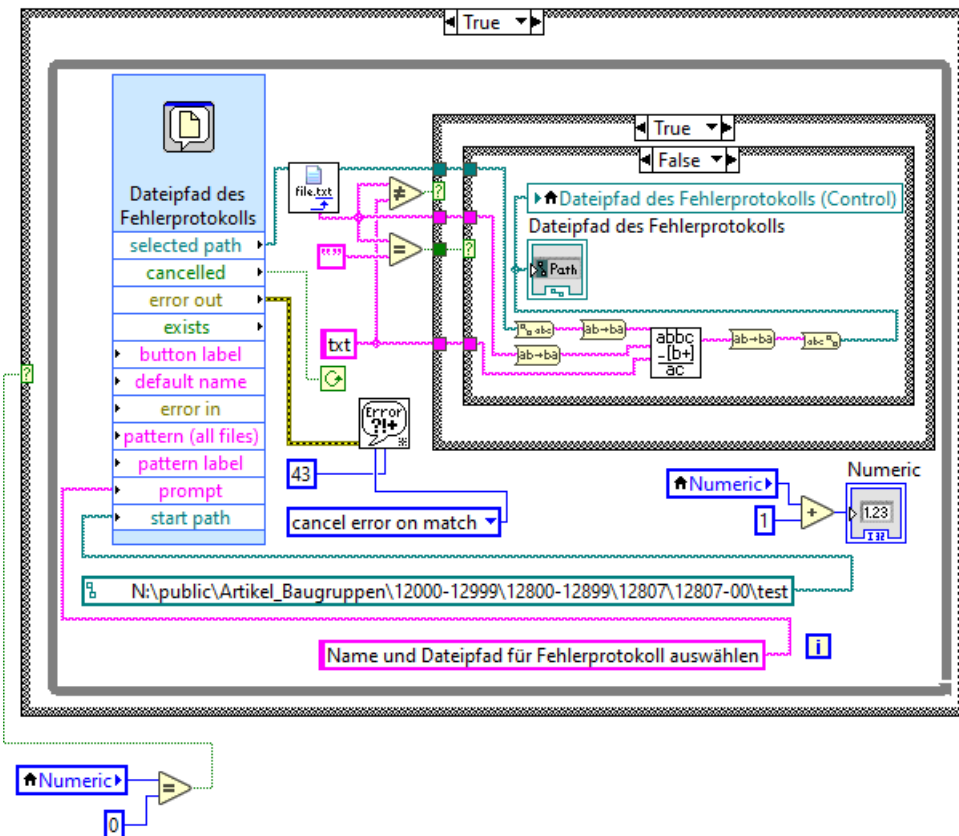


Abbildung 4.14: Auswahl des Dateinamens und des Dateipfads für das zu erstellende Fehlerprotokoll

4.4.3 Einstellung der Oszilloskop-Kanäle

Die vier Push-Buttons der folgenden Abbildung 4.15 dienen der Aktivierung der Oszilloskop-Kanäle.

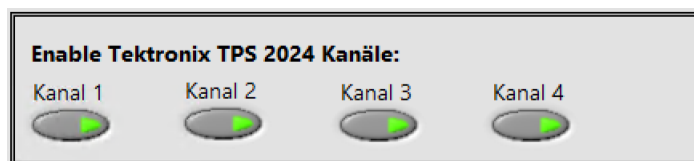


Abbildung 4.15: Push-Buttons zur Aktivierung der Oszilloskop-Kanäle

Die folgende Abbildung 4.16 zeigt das zugehörige Blockdiagramm in LabVIEW. Für die vom Benutzer aktivierten Kanäle werden die X- und Y-Achsen-Einstellungen der Oszilloskop-Kanäle automatisch vorgenommen, um dem Nutzer die Bedienung des Teststands zu erleichtern.

Die zu erkennenden SubVIs mit der Aufschrift „TDS1K2X“ sind Inhalt des Gerätetreibers „Tektronix TDS 200 1000 2000 Series“ von National Instruments. Diese übernehmen die Kommunikation mit dem Oszilloskop über die serielle Schnittstelle.

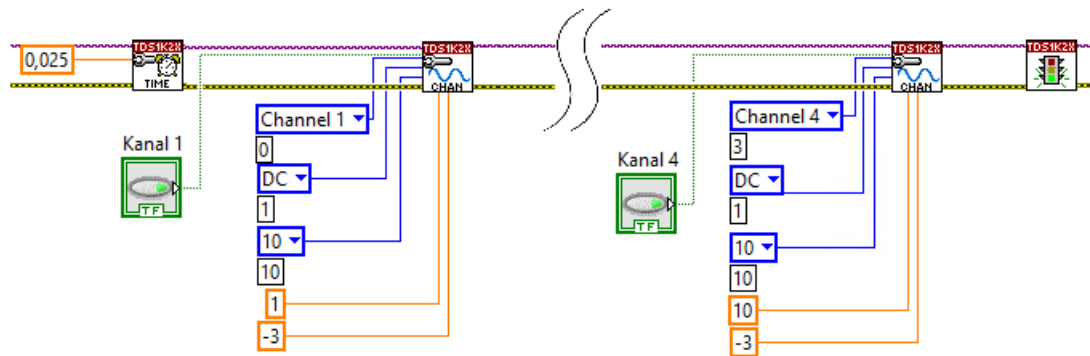


Abbildung 4.16: Aktivierung und Konfiguration der vier Oszilloskop-Kanäle

4.4.4 Messung der Einschaltflanken von zwei Netzteilen

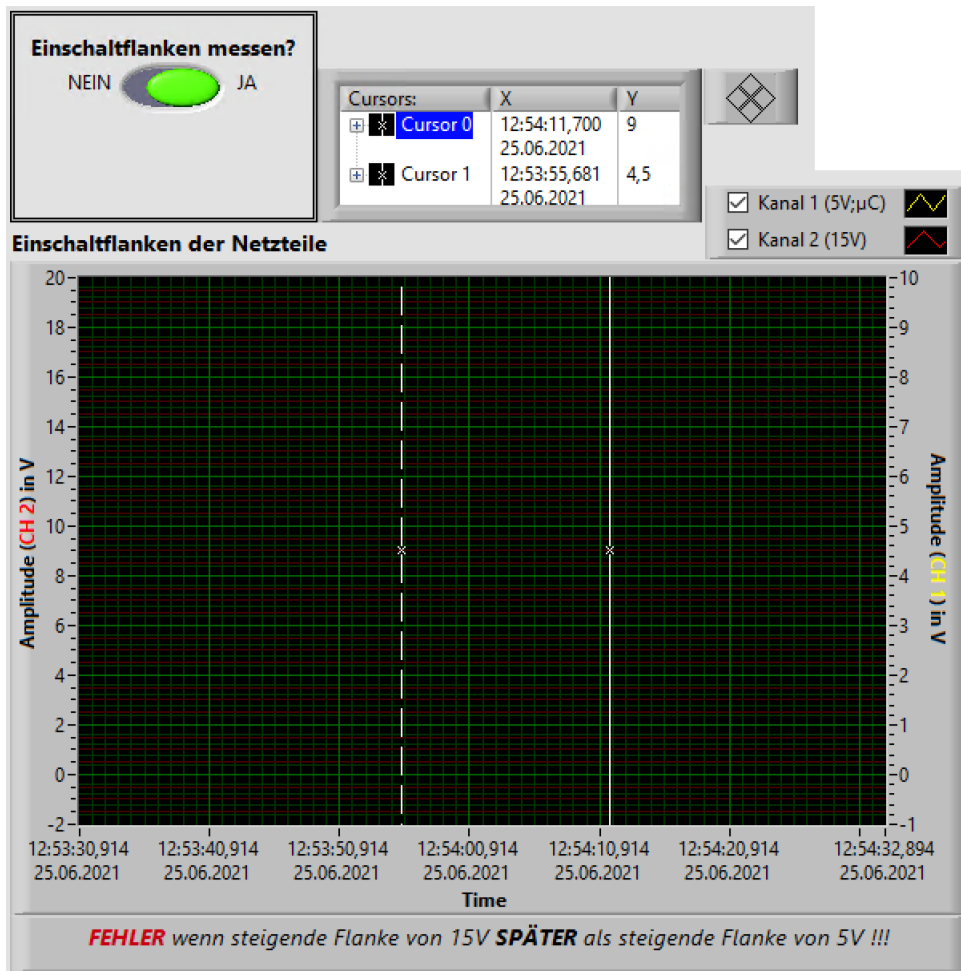


Abbildung 4.17: Oszillograph der gemessenen Einschaltflanken

Der Benutzer wählt über ein Dialogfeld aus, ob die Einschaltflanken eines der beiden 5 V-Netzteile (DSP30-5) und des 15 V-Netzteils (DSP60-15) im ZMX-Überrahmen gemessen werden sollen. Der in der Abbildung 4.17 zu erkennende Slide-Switch zeigt dies anschließend an. Das zugehörige Blockdiagramm ist zusammen mit dem Dialogfeld in der Abbildung 4.18 zu sehen.

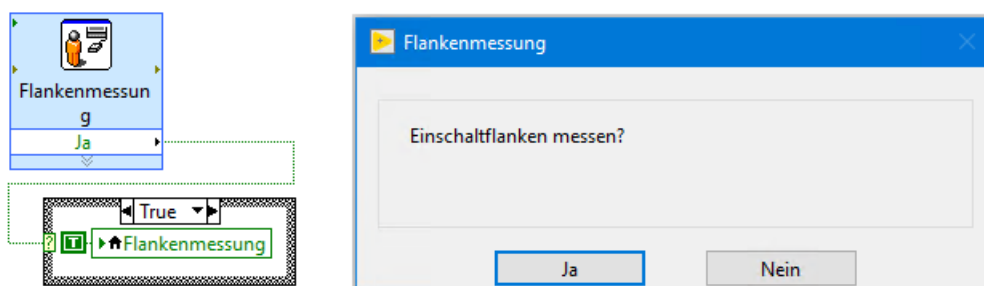


Abbildung 4.18: Dialogfeld für die Einstellung zur Aktivierung der Einschaltflankenmessung

Die nachfolgende Abbildung 4.19 zeigt das Blockdiagramm für die Konfiguration des Oszilloskops und das Speichern der gemessenen Werte.

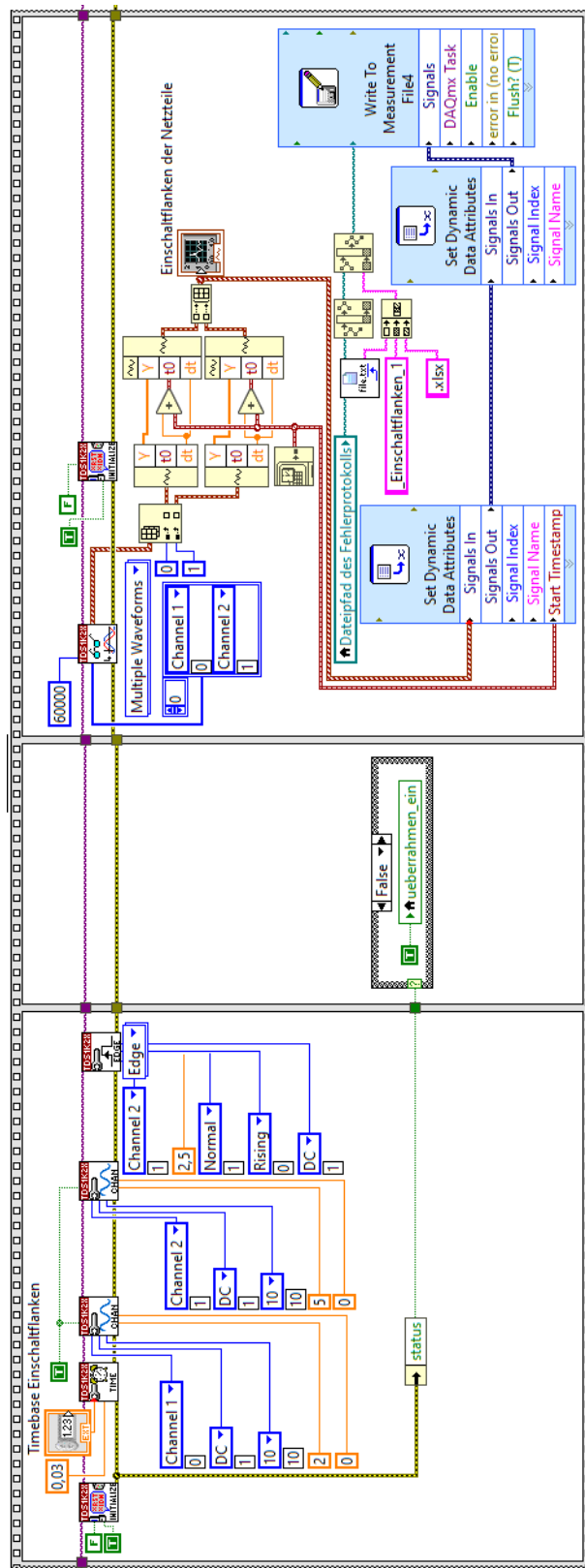


Abbildung 4.19: Konfiguration der Oszilloskop-Kanäle und Speichern der gemessenen Werte für die Einschaltflankenmessung

In dieser Abbildung 4.19 sind drei Sequenzen zu sehen. In der ersten erfolgt die Initialisierung und Einstellung der beiden zugehörigen Oszilloskop-Kanäle. Hierbei stellt Kanal 1 die Messung am 5 V-Netzteil und Kanal 2 die Messung am 15 V-Netzteil dar. Der Trigger wird auf die steigende Flanke von Kanal 2 gesetzt, da die Einschaltflanke des angeschlossenen 15 V-Netzteils zuerst kommen sollte. Die gesamte Initialisierung und Konfiguration erfolgt automatisch.

In der zweiten Sequenz wird der Benutzer durch eine Text-Variable dazu aufgefordert, den ZMX-Überrahmen einzuschalten. Die Aufforderung erfolgt wie in der nachfolgenden Abbildung 4.20 dargestellt.

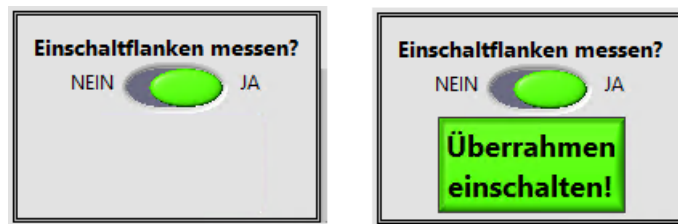


Abbildung 4.20: Aufforderung zum Einschalten des ZMX-Überrahmens, durch eine Text-Variable

Die dritte Sequenz zeigt das SubVI zum Auslesen der vom Oszilloskop gemessenen Werte. Diese werden dann zusätzlich im Oszillographen, aus der Abbildung 4.17, in LabVIEW dargestellt und in einer Excel-Tabelle gespeichert.

Abschließend bewertet der Nutzer die Qualität der gemessenen Einschaltflanken gemäß der Aussage unterhalb des Oszillographen aus der Abbildung 4.17.

4.4.5 Einstellung und Anzeige der maximalen Anzahl an gleichzeitig laufenden Schrittmotoren

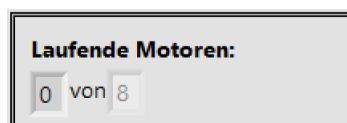


Abbildung 4.21: Einstellung und Anzeige der maximalen Anzahl an gleichzeitig laufenden Schrittmotoren

Die linke Ziffer der Abbildung 4.21 zeigt an, wie viele Schrittmotoren im manuellen Betriebsmodus angesteuert werden. Im automatischen Betrieb hat diese Anzeige keine Funktion.

Die rechte Ziffer zeigt an, wie viele von den 16 angeschlossenen Schrittmotoren maximal gleichzeitig angesteuert werden sollen. Der Maximalwert ist hierbei historisch bedingt auf „8“ festgelegt. Minimal kann der Wert „1“ eingegeben werden. Bei Zahlenangaben

außerhalb dieses Wertebereichs oder Dezimalzahlen wird automatisch zum nächstgelegenen gültigen, ganzzahligen Wert gerundet.

Diese Einstellung gelten sowohl für den manuellen als auch für den automatischen Betrieb. Erst nach dem Beenden eines gestarteten Modus lassen sich diese Einstellungen wieder ändern.

4.4.6 Bedienelemente für den Start und laufenden Betrieb des Teststands

Die Einstellungen aus 4.4.1, 4.4.2 und 4.4.3 werden nach Betätigung des START-Buttons übernommen und sind ab dem Zeitpunkt nicht mehr veränderbar, bis das Programm beendet und erneut gestartet wird. Im Anschluss daran erfolgt der in 4.4.4 beschriebene Vorgang zur Messung der Einschaltflanken.

Nachdem die Initialisierung des Oszilloskops mit den gewählten Einstellungen abgeschlossen ist, lässt sich der Betriebsmodus aus der Combo-Box in der Abbildung 4.22 wählen.

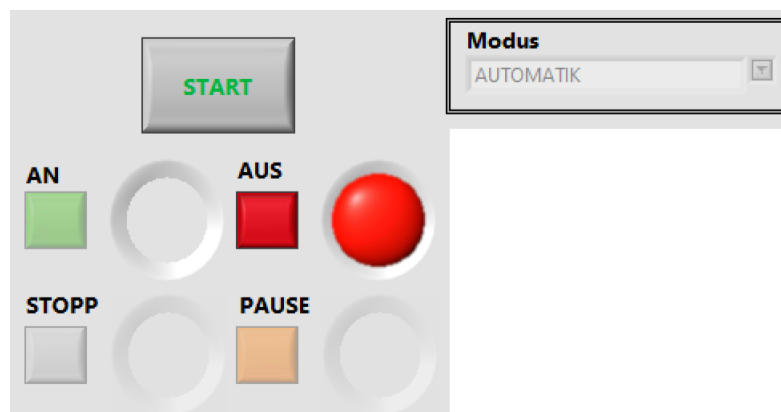


Abbildung 4.22: Bedienelemente für den Start und laufenden Betrieb des Teststands

Der STOPP-Button und der PAUSE-Button dienen im Automatikbetrieb dazu, das auf dem Arduino Mega2560 (Motoransteuerung) laufende Programm zu pausieren. Der STOPP-Button hat zusätzlich die Funktion, die Informationen für die zu dem Zeitpunkt angesteuerten Schrittmotoren in das Fehlerprotokoll zu schreiben. Im manuellen Betriebsmodus haben diese beiden Buttons keine Funktion und sind deaktiviert.

Der AN-Button und der AUS-Button dienen dem Start beziehungsweise dem Beenden des jeweiligen Betriebsmodus.

Die folgende Abbildung 4.23 zeigt das in LabVIEW erstellte Blockdiagramm für den Start des eingestellten Betriebsmodus und die dafür notwendige Kommunikation mit dem Arduino Mega2560 (Motoransteuerung).

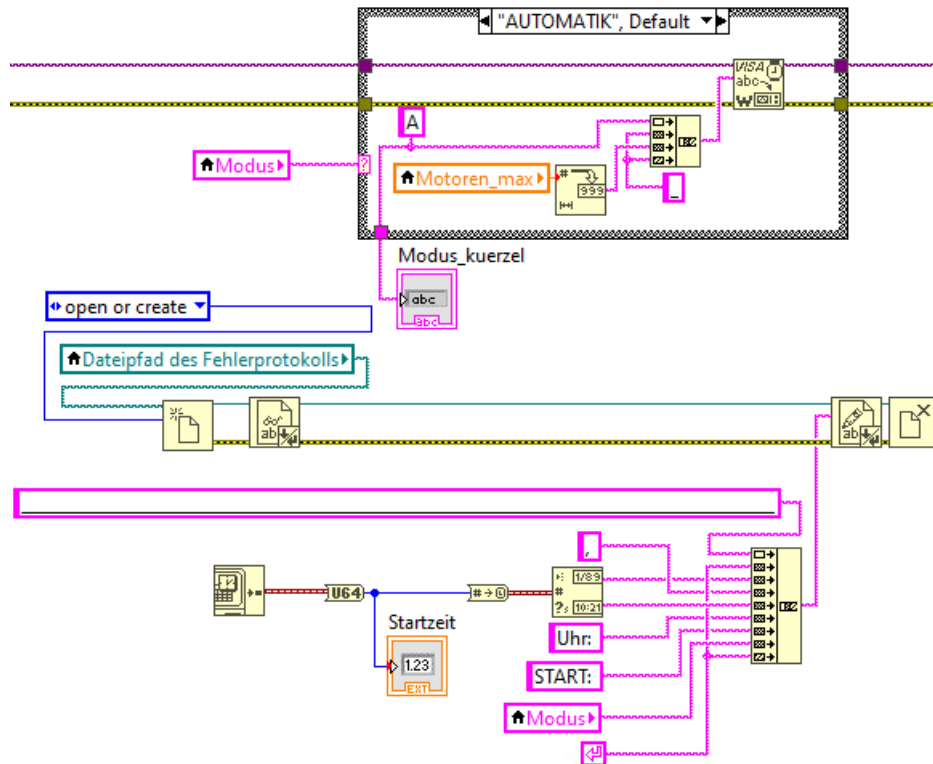


Abbildung 4.23: Starten des Betriebsmodus durch Senden des jeweiligen Kommandos an den Arduino Mega2560 (Motoransteuerung)

4.4.7 Bedienelemente für die Steuerung der Schrittmotoren im manuellen Modus

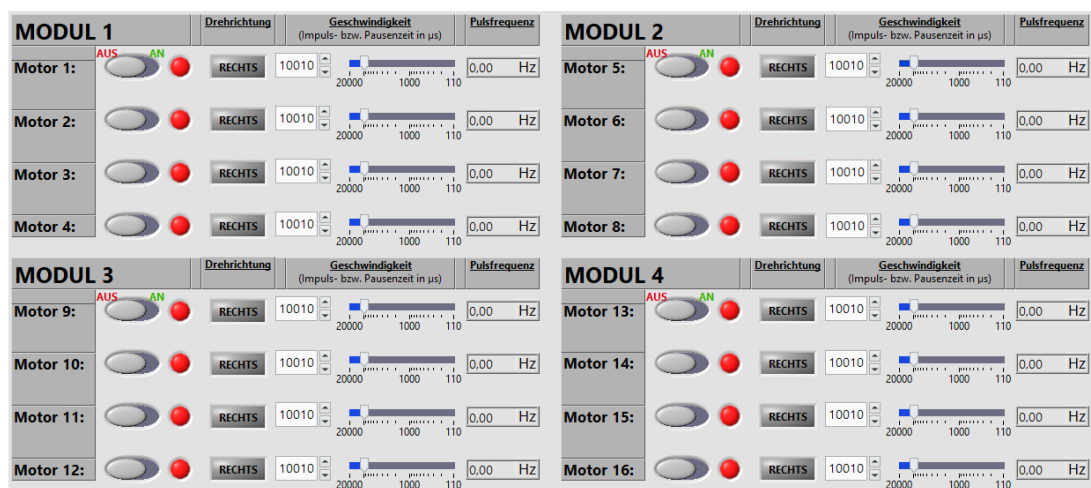


Abbildung 4.24: Bedienelemente für die Steuerung der Schrittmotoren im manuellen Modus

Die Bedienelemente der obigen Abbildung 4.24 dienen der Steuerung der 16 Schrittmotoren im manuellen Betriebsmodus. Im automatischen Betrieb haben diese Elemente keine Funktion und sind deaktiviert.

Die Slide-Switches schalten den jeweiligen Schrittmotor ein, sofern die zuvor festgelegte maximale Anzahl an gleichzeitig laufenden Motoren, wie in 4.4.5 beschrieben, noch nicht erreicht ist. Dass der jeweilige Motor läuft, wird durch eine grüne LED rechts neben dem Slide-Switches signalisiert. Die Geschwindigkeit beziehungsweise die Pulsfrequenz für den jeweiligen Motor ergibt sich aus dem eingestellten Wert beim zugehörigen Schieberegler. Durch Betätigung des Push-Buttons lässt sich die Drehrichtung des jeweiligen Schrittmotors einstellen.

In der folgenden Abbildung 4.25 ist das zugehörige Blockdiagramm in LabVIEW zu erkennen. Die eingestellten Werte der Push-Buttons (0 oder 1) und der Schieberegler (110 bis 20000) werden zu einem String konkateniert und zur Verarbeitung an den Arduino Mega2560 (Motoransteuerung) gesendet.

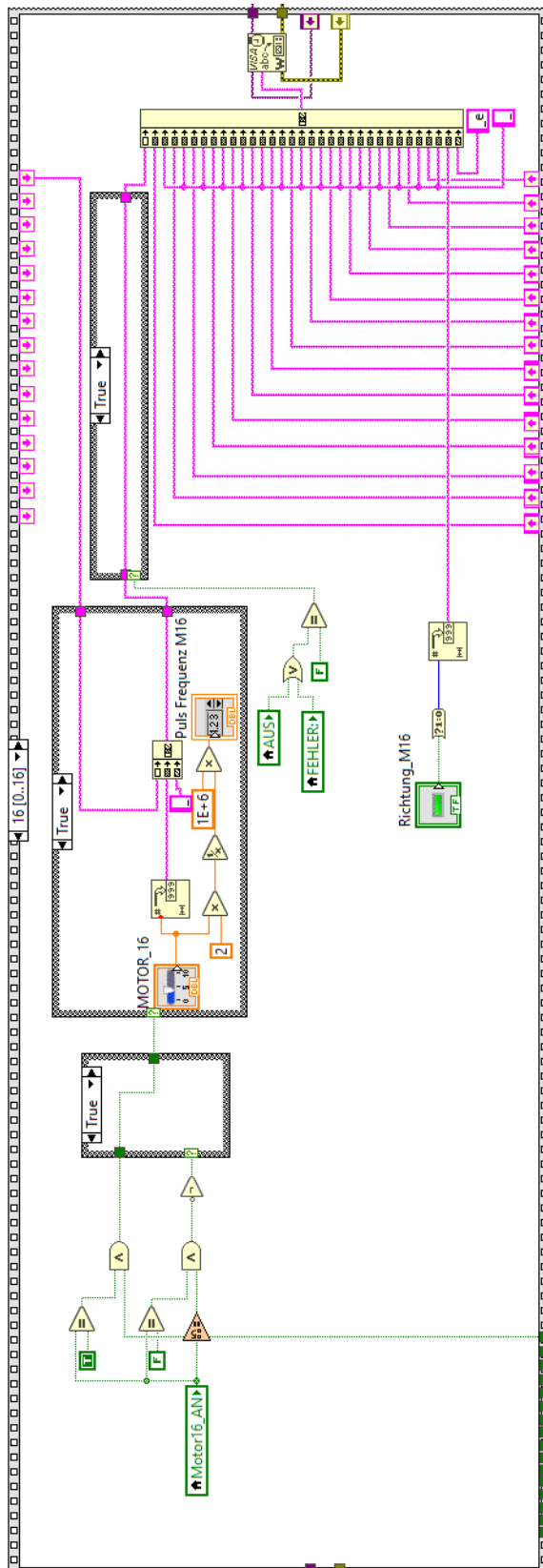


Abbildung 4.25: Senden des concatenierten String mit Informationen über Drehrichtung und Geschwindigkeit an den Arduino Mega2560 (Motoransteuerung)

4.4.8 Signalisierung von aufgetretenen Fehlern

Die folgende Abbildung 4.26 zeigt die digitale LED zur Fehlersignalisierung sowie den Oszillographen für Spannungsverläufe zum Fehlerzeitpunkt.

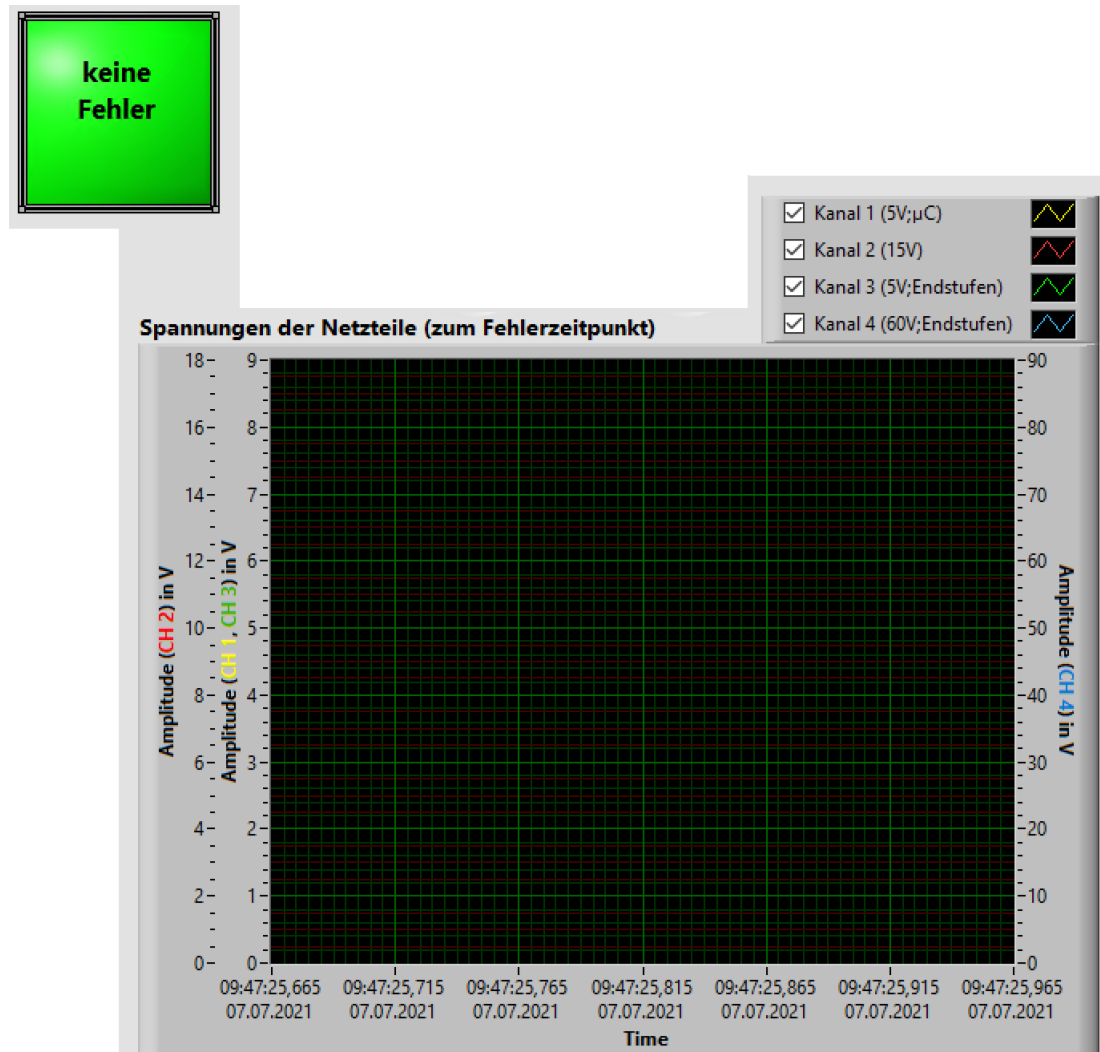


Abbildung 4.26: Fehleranzeige und Oszillograph für Spannungsverläufe zum Fehlerzeitpunkt

Die grüne, quadratische LED mit dem Schriftzug „keine Fehler“ dient zur Signalisierung, ob ein Fehler aufgetreten ist. Ist dies der Fall, wechselt die Farbe zu rot und der Schriftzug ändert sich zu „Fehler!“. Diese beiden Zustände sind in der folgenden Abbildung 4.27 dargestellt.

Zur Fehlererkennung werden die entwickelten SubVIs „ZMX_Spannungsmessung“ und „ZMX_Signalueberwachung“ verwendet, welche im Folgenden beschrieben werden.

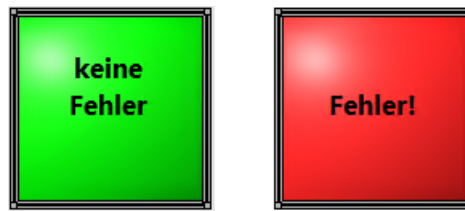


Abbildung 4.27: LED zur Fehlersignalisierung bei keinem aufgetretenen Fehler (links) und aufgetretenem Fehler (rechts)

SubVI „ZMX_Spannungsmessung“

Zur Überwachung der Spannungen der Netzteile des ZMX-Überrahmens wird sich der SubVIs des Gerätetreibers „Tektronix TDS 200 1000 2000 Series“ bedient. Es werden, abhängig vom Netzteil, die minimal und die maximal gemessenen Spannungswerte erfasst. Diese Erfassung wird vom Gerätetreiber bereitgestellt. Bei Über- bzw. Unterschreiten eines einstellbaren Schwellwerts wird die Messung gestoppt und das Oszilloskop behält den aktuellen Oszillographen bei.

Dieser Vorgang ist in der Abbildung 4.28 zu erkennen.

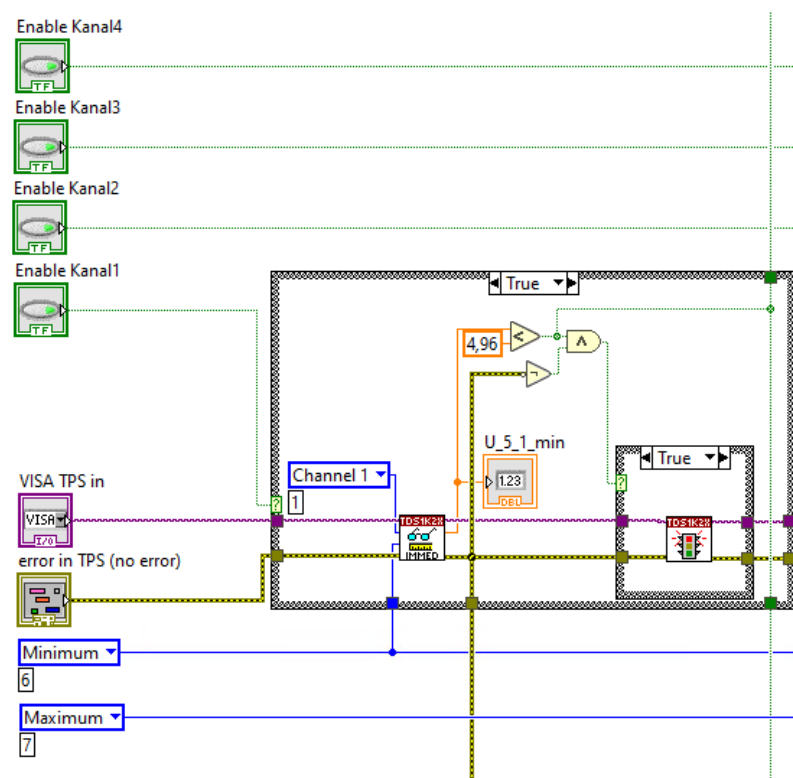


Abbildung 4.28: Ausschnitt des Blockdiagramms vom SubVI „ZMX_Spannungsmessung“

Die Informationen von allen fehlerhaften Spannungswerten werden zu dem String „Fehlermeldung“ konkatentiert. Das Blockdiagramm für die Realisierung in LabVIEW ist der folgenden Abbildung 4.29 zu entnehmen.

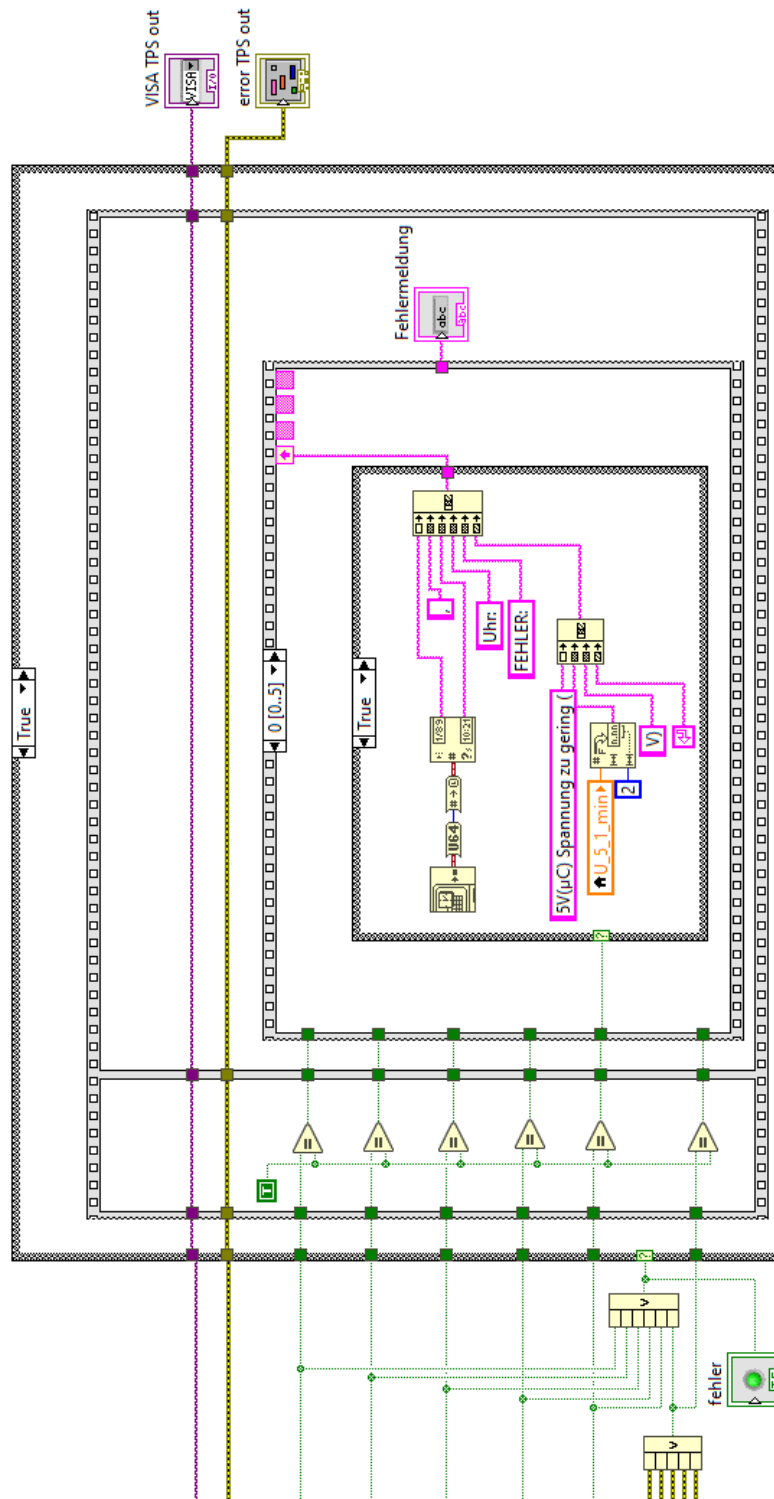


Abbildung 4.29: Ausschnitt des Blockdiagramms vom SubVI „ZMX_Spannungsmessung“

Die gemessenen Spannungsverläufe werden im zugehörigen Oszillographen im Frontpanel dargestellt. Zusätzlich werden die Spannungswerte in einer Excel-Tabelle abgespeichert. Dies geschieht gemäß dem Blockdiagramm der nachfolgenden Abbildung 4.30.

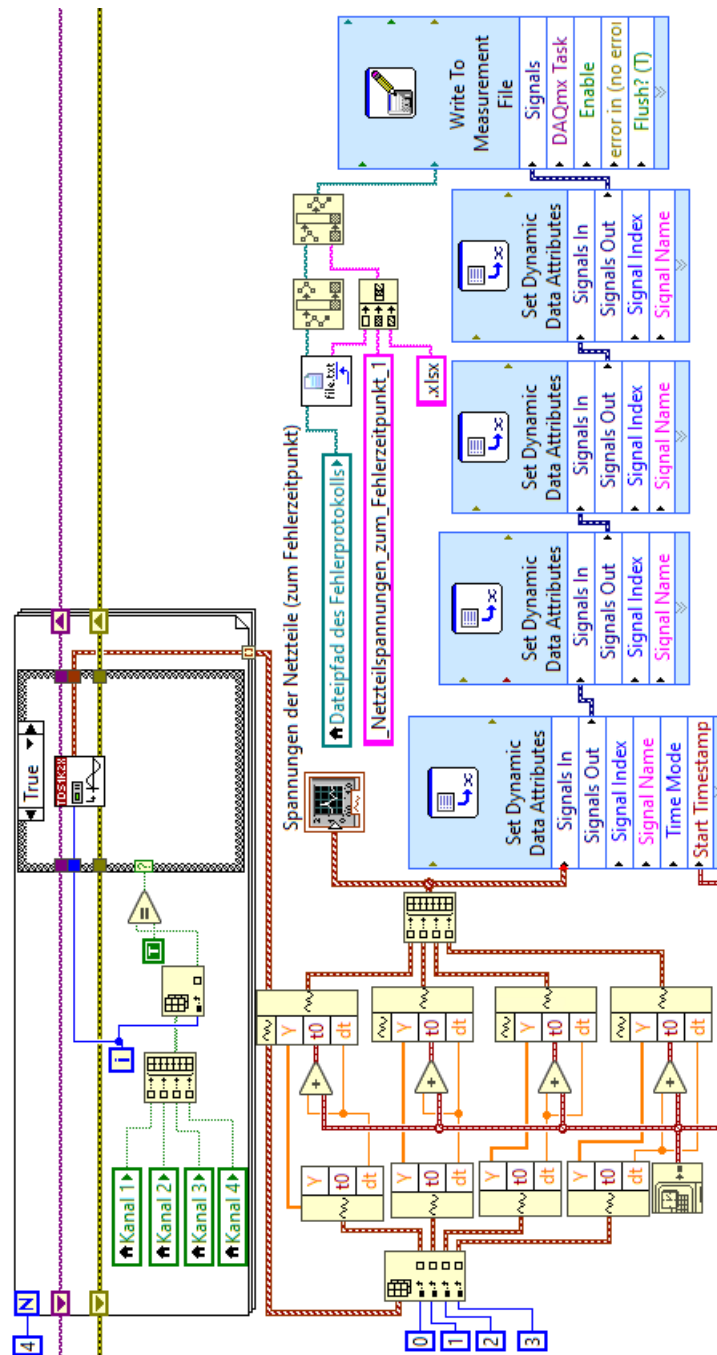


Abbildung 4.30: Gemessene Netzteilspannungen zum Fehlerzeitpunkt im Oszillographen in LabVIEW darstellen und als Excel-Tabelle abspeichern

SubVI „ZMX_Signalüberwachung“

Die folgende Abbildung 4.31 zeigt einen Ausschnitt des Blockdiagramms vom SubVI „ZMX_Signalüberwachung“.

Im Falle eines aufgetretenen Fehlers bei den ZMX-Endstufen und/oder den Signalen der Endlagenschalter wird vom Arduino Mega2560 (Signalüberwachung) die entsprechende Fehlermeldung seriell über USB an LabVIEW gesendet.

Eine genaue Beschreibung des Programms auf dem Mikrocontroller des Arduino folgt unter 4.2.1.

Wie in der Abbildung zu erkennen ist, wird in dem SubVI überwacht, ob Bytes an dem entsprechenden Port vorliegen. Ist dies der Fall, wird die empfangene Nachricht eingelesen und zum String „Fehlermeldung“ konkateniert.

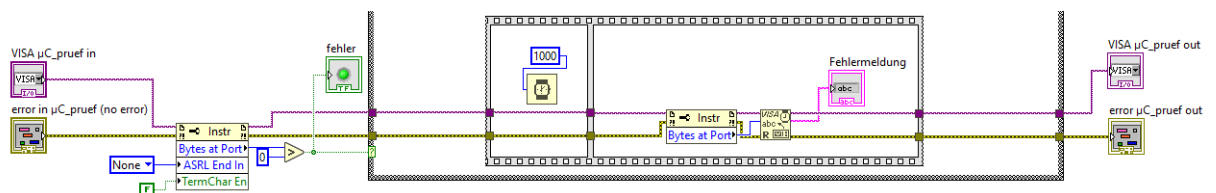


Abbildung 4.31: Ausschnitt des Blockdiagramms vom SubVI „ZMX_Signalüberwachung“

4.5 Fehlerprotokollierung

Die Fehlerprotokollierung erfolgt zum einen durch ein Fehlerprotokoll im „txt“-Format und zum anderen durch Erstellung von Excel-Tabellen. Das Fehlerprotokoll wird hierbei bei jeder Verwendung erweitert und alle enthaltenen Informationen mit Datum und Uhrzeit gekennzeichnet.

Exemplarische Ausschnitte eines Fehlerprotokolls folgen unter 5.3.

Die Excel-Tabellen dienen zur genauen Übersicht der gemessenen Spannungsverläufe. Somit wird zu jeder Messung von Einschaltflanken und bei jedem aufgetretenen Fehler eine neue Excel-Tabelle mit allen gemessenen Spannungswerten erzeugt. Zur graphischen Darstellung werden diese Kurvenverläufe während des Betriebs des Teststands im jeweiligen Oszillographen in LabVIEW angezeigt und können zusätzlich jederzeit anhand der Excel-Tabellen geplottet werden.

5 Verifizierung

5.1 Schrittmotorsteuerung

Zur Verifizierung der Funktionalität der Schrittmotorsteuerung wird die vorangegangene Arbeit des Praxissemesters als Grundlage genommen [6]. Diese hat sich bewährt und wird daher auch als Grundlage für die Ansteuerung eines ZMX-Überrahmens mit dem Teststand verwendet.

Die Ansteuerungsbefehle werden nun jedoch vom LabVIEW-Programm und nicht mehr über den „Serial Monitor“ der Arduino IDE gesendet.

Die Integration der bestehenden Ansteuerung zum LabVIEW-Programm funktioniert erwartungsgemäß.

5.2 Funktion des Programms zur Signalüberwachung

Bei der Verifizierung des Programms zur Signalüberwachung mit einem Arduino Mega2560 Entwicklungsboard gilt es zwei Aspekte zu überprüfen: Zum einen die Erkennung von Fehlern bei den 16 ZMX-Endstufen, zum anderen die Funktion der implementierten Endlagenschalter und der Vergleich des hierbei eingestellten Signals mit dem zugehörigen Signal der Anschlussmodule. Die gemeldeten Fehler werden seriell ausgegeben, wodurch der „Serial Monitor“ der Arduino IDE hierbei zur Funktionsprüfung hilfreich ist.

Die Fehlersignale der ZMX-Endstufen sind high-aktiv, was bedeutet, dass ein aufgetretener Fehler bei einer Endstufe mit einer logischen 1 signalisiert wird [7]. Gemäß dem Schaltplan im Anhang unter [A.2.1](#) werden zur galvanischen Trennung der unterschiedlichen Massepotentiale, wie bereits unter [4.3.3](#) beschrieben, Optokoppler verwendet. Diese sind vom Typ HCPL2631 und haben eine invertierende Funktion. Durch die realisierte Schaltung hat somit eine logische 1 beim Fehlersignal der Endstufe auch eine logische 1 am Ausgang des zugehörigen Optokopplers zur Folge.

Die Ausgangssignale sind mit den als Eingang konfigurierten Pins des Arduino Mega2560 verbunden. Zur Fehlererkennung kann daher im Programm abgefragt werden, ob alle Signale an den Pins eine logische 0 vorweisen. Ist dies nicht der Fall, liegt bei der jeweiligen Endstufe ein Fehler vor.

Um einen Fehler zu simulieren, kann der jeweilige Eingang des Optokopplers offen gelassen werden. Da die Fehlersignale mit den Kathoden der Optokoppler verbunden sind, führt ein offener Eingang ebenfalls zu einer logischen 1 am Ausgang des Optokopplers. Beim Testen dieser Funktion wird verifiziert, dass Fehler bei jeder Endstufe zuverlässig erkannt werden.

Zur Überprüfung der Fehlererkennung von Endlagenschaltern wird zunächst die Funktion von den simulierten Endlagenschaltern generell bestätigt. Der Aufbau erfolgt hierbei gemäß den Blockschaltbildern in den Abbildungen 3.1 und 4.5, sowie dem Schaltplan A.2.1. Zur Funktionsprüfung werden die die Schrittmotoren im manuellen Modus des Teststands angesteuert und die Kippschalter in der Testbox zur Simulation einer Endlage betätigt. Da die jeweiligen Schrittmotoren aufhören, sich in die Richtung zu drehen, wenn der Schalter betätigt wurde, ist diese Funktion wie gewünscht erfüllt.

Die Fehlererkennung bei Endlagenschaltern wird geprüft, indem der jeweilige DIP-Schalter im Modul „Anzeige Endlagen“ des ZMX-Überrahmens so eingestellt wird, dass die Endlagenschalter gebrückt sind. Dadurch reagiert das zugehörige Signal vom Anschlussmodul nicht auf Änderungen bei Signalen der Endlagenschalter und liefert kontinuierlich eine logische 0. Bei Betätigung eines Kippschalters für die Simulation einer Endlage entsteht eine logische 1 am Eingangspin des Mikrocontrollers des Arduino Mega2560 Entwicklungsboard. Da diese Ungleichheit der Signale vom Programm erkannt wird und auf dem „Serial Monitor“ angezeigt wird, ist die Fehlererkennung damit bestätigt.

Der zugehörige Programmcode befindet sich im Anhang unter A.3.

5.3 Fehlererkennung beim Betrieb des Teststands

Die folgende Abbildung 5.1 zeigt einen exemplarischen Ausschnitt aus einem Fehlerprotokoll, nachdem ein Fehler bei einem der Endlagenschalter-Signalen festgestellt wurde. Aus dieser Abbildung lassen sich zusätzlich zur Fehlermeldung Datum, Uhrzeit, sowie Betriebsmodus des Teststands und die zu diesem Zeitpunkt angesteuerten Schrittmotoren entnehmen.

Diese Fehlermeldung lässt sich zur Verifizierung der Funktionalität, wie unter 5.2 beschrieben, provozieren.

```
05.08.2021, 09:53Uhr: START: AUTOMATIK
-----
05.08.2021, 09:53Uhr: FEHLER: Fehlermeldung Limitsignale: CCW(Reihe B)
05.08.2021, 09:53Uhr: Motor: 1(RECHTS) Pulsfrequenz: 181.82Hz
-----
05.08.2021, 09:53Uhr: BEENDET: AUTOMATIK (Laufzeit: 0 Stunden, 0 Minuten, 4 Sekunden)
```

Abbildung 5.1: Exemplarisches Fehlerprotokoll bei einer Fehlermeldung von Endlagenschaltern

Die Abbildung 5.2 stellt eine exemplarische Ausgabe in einem Fehlerprotokoll dar, nachdem ein Fehler von einer ZMX-Endstufe gemeldet wurde.

Hierbei befand sich der Teststand im manuellen Betriebsmodus, daher ist in dieser Abbildung, anders als in Abbildung 5.1, keine Information zu den angesteuerten Schrittmotoren. Da die Schrittmotoren im manuellen Betriebsmodus von Benutzer direkt gesteuert werden, ist diese Information in diesem Fall nicht erforderlich.

Diese Fehlermeldung lässt sich zum Funktionstest provozieren, indem die Endstufe 1 nicht im ZMX-Überrahmen eingesetzt wird. Der Grund hierfür ist unter 5.2 beschrieben.

```
05.08.2021, 09:20Uhr: START: MANUELL
-----
05.08.2021, 09:20Uhr: FEHLER: Fehlermeldung Endstufen: Endstufe 1
-----
05.08.2021, 09:20Uhr: BEENDET: MANUELL (Laufzeit: 0 Stunden, 0 Minuten, 2 Sekunden)
```

Abbildung 5.2: Exemplarisches Fehlerprotokoll bei einer Fehlermeldung von ZMX-Endstufen

In der nachfolgenden Abbildung 5.3 ist eine exemplarische Ausgabe eines Fehlerprotokolls zu erkennen, nachdem ein Fehler bei einer der Netzteilspannungen festgestellt wurde.

Um diese Fehlermeldung zu provozieren kann der jeweilige, am Oszilloskop angeschlossene Tastkopf, entfernt werden. Dadurch wird eine Spannung von 0,00 V gemessen, welche unterhalb der festgelegten minimalen Schwelle liegt.

```
05.08.2021, 11:55Uhr: START: MANUELL
-----
05.08.2021, 11:56Uhr: FEHLER: 15V Spannung zu gering (0,00V)
-----
05.08.2021, 11:56Uhr: BEENDET: MANUELL (Laufzeit: 0 Stunden, 0 Minuten, 22 Sekunden)
```

Abbildung 5.3: Exemplarisches Fehlerprotokoll bei einer Fehlermeldung von Netzteilspannungen

6 Zusammenfassung und Ausblick

Der entwickelte Teststand bietet die Möglichkeit, ZMX-Überrahmen automatisch oder manuell anzusteuern und ist ohne spezielle Vorkenntnisse leicht zu bedienen. Bei der Bedienung handelt es sich um eine Kombination aus Hardware- und Softwarebedienelementen. Die Hardwarebedienelemente befinden sich in der entwickelten Testbox. Die softwareseitige Bedienung erfolgt über ein mit LabVIEW erstelltes Frontpanel.

Hierbei besteht die Möglichkeit, die Einschaltflanken des 5 V-Netzteils (DSP30-5) und des 15 V-Netzteils (DSP60-15) zu messen, um die korrekte Einschaltreihenfolge zu verifizieren. Eine kontinuierliche Überwachung erfolgt bei den Netzteilspannungen aller Netzteile eines ZMX-Überrahmens, bei den Endlagenschaltersignalen von vier wählbaren Schrittmotoren sowie bei den Fehlersignalen aller 16 ZMX-Endstufen.

Alle hierbei auftretenden Fehler werden in einem Fehlerprotokoll gespeichert und mit einem Zeitstempel versehen. Bei Fehlern der Netzteilspannungen wird zusätzlich eine Excel-Tabelle mit den gemessenen Werten erstellt.

Sofern ein Fehler aufgetreten ist, wird dies im Frontpanel der graphischen Bedienoberfläche signalisiert und das System wird abgeschaltet.

Die folgende Abbildung 6.1 zeigt den entwickelten Teststand im Betrieb.

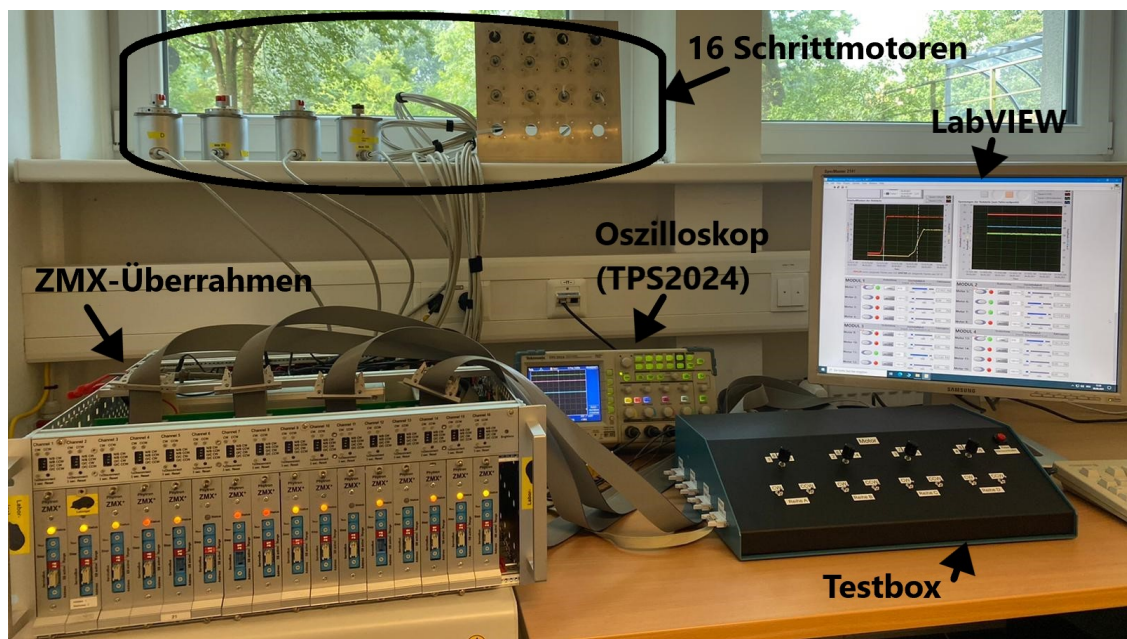


Abbildung 6.1: Aufgebauter Teststand im Betrieb mit allen Hardwarekomponenten

Weiterführend kann dieser Teststand dahingehend erweitert werden, dass der Service-Bus des ZMX-Überrahmens zur Signalüberwachung mit integriert wird. Über den Service-Bus lassen sich Werte von jeder ZMX-Endstufe auslesen. Darüber wäre es dann auch möglich, im Fehlerfall einer Endstufe die genaue Fehlermeldung zu erhalten.

Für die Kommunikation mit dem Service-Bus kann die Programmiersprache Python verwendet werden. Da LabVIEW die Möglichkeit bietet, verschiedene Skripte mit in das Programm einzubinden, sollte es auch generell möglich sein ein solches Python Skript, welches Werte von den ZMX-Endstufen ausliest, mit in das bestehende Programm „ZMX_Ueberrahmen_Pruefprogramm“ zu integrieren.

Für diese Bachelorarbeit hätte die Entwicklung eines Python Skripts und dessen Integration in LabVIEW jedoch den Rahmen gesprengt.

Literatur

- [1] *Arduino Mega2560*. URL: <https://store.arduino.cc/arduino-mega-2560-rev3> (besucht am 16.08.2021).
- [2] *Arduino Nano*. URL: <https://store.arduino.cc/arduino-nano> (besucht am 16.08.2021).
- [3] Deutsches Elektronen-Synchrotron DESY. *Interne Unterlagen*. Erhältlich über DESY, Gruppe ZE.
- [4] *LabVIEW*. URL: <https://de.wikipedia.org/wiki/LabVIEW> (besucht am 16.08.2021).
- [5] *LabVIEW*. URL: <https://www.ni.com/getting-started/labview-basics/d/environment> (besucht am 16.08.2021).
- [6] Marcel Soika. *Praktikumsbericht: Analyse und Ansteuerung einer ZMX-Motorsteuerung*.
- [7] Phytron. *ZMX+ Schrittmotorendstufe mit ServiceBus Hardware V5.0*. URL: https://www.phytron.de/fileadmin/user_upload/produkte/endstufen_controller/pdf/ma-zmxplus-de.pdf (besucht am 16.08.2021).
- [8] *RS232*. URL: <https://de.wikipedia.org/wiki/RS-232> (besucht am 16.08.2021).
- [9] *split()-Funktion*. URL: <http://wp.scalesoft.de/arduino-split/> (besucht am 16.08.2021).
- [10] *Tektronix TPS 2024*. URL: <https://de.tek.com/datasheet/digital-storage-oscilloscopes-1> (besucht am 16.08.2021).

A Anhang

A.1 Quellcode

A.1.1 Programm für die Schrittmotoransteuerung auf dem Arduino Mega2560 Entwicklungsboard

Listing A.1: Programm für die Schrittmotoransteuerung auf dem Arduino Mega2560 Entwicklungsboard

```
1 #include <SoftwareSerial.h>
2 #include <math.h>
3 #include <Wire.h>
4 #include <string.h>
5 /*-----VARIABLEN UND KONSTANTEN-----*/
6 #define CYCLE_MAX 5010
7 #define CYCLE_MIN 190
8 #define CYCLE_MOTOR_AUS 22
9 #define CYCLE_SCHRITTWEITE 20
11 enum Richtung {rechts, links};
12 bool Drehrichtung[16] = {};
13 String richtung[16] = {};
15 unsigned int cycle = CYCLE_MAX;
16 unsigned int cycle_motoren[16] = {};
17 unsigned int cycle_motoren_temp[16] = {};
19 // Modul 1 ----- Drehrichtung vom Arduino MEGA gesteuert
20 const int M1_dir = 38;
21 const int M2_dir = 39;
22 const int M3_dir = 40;
23 const int M4_dir = 41;
24 // Modul 2 ----- Drehrichtung vom Arduino MEGA gesteuert
25 const int M5_dir = 42;
26 const int M6_dir = 43;
27 const int M7_dir = 44;
28 const int M8_dir = 45;
29 // Modul 3 ----- Drehrichtung vom Arduino MEGA gesteuert
30 const int M9_dir = 46;
31 const int M10_dir = 47;
32 const int M11_dir = 48;
33 const int M12_dir = 49;
34 // Modul 4 ----- Drehrichtung vom Arduino MEGA gesteuert
35 const int M13_dir = 50;
36 const int M14_dir = 51;
37 const int M15_dir = 52;
38 const int M16_dir = 53;
39 int Motor_Dir[16] = {M1_dir, M2_dir, M3_dir, M4_dir, M5_dir, M6_dir, M7_dir, M8_dir, M9_dir,
    M10_dir, M11_dir, M12_dir, M13_dir, M14_dir, M15_dir, M16_dir};
41 String command_Motor[16] = {};
42 String command_Motoren;
43 volatile char command;
44 volatile char temp_command;
46 String command_modus = {};
47 int max_motoren = 8;
48 String temp_max_motoren = {};
```

```

53  /*-----PROTOTYPEN-----*/
54  void(* resetFunc) (void) = 0; // Reset Funktion zur Adresse 0

56  // warten auf Serielle Pausenanforderung im automatischen Betrieb
57  void pause(unsigned int Geschwindigkeit_1, unsigned int Motoren, int Motornummer, unsigned
int Geschwindigkeit_2);
58  void warten(unsigned long dauer, unsigned int Geschwindigkeit_1, unsigned int Motoren, int
Motornummer, unsigned int Geschwindigkeit_2);

60  void drehrichtung (int *Motor_DIR, bool *DIR); // DIR: 0 oder 1 (0=>rechts, 1=>links)
61  String split(String s, char parser, int index); // String zerteilen
62  // Drehrichtung des jeweiligen Motors ueber Serial.print ausgeben
63  void print_richtung(int index);

65  // unsigned int Motoren => Dezimalwert eines Binaermusters, int Motornummer => Motornummer
minus 1 (fuer Motor 1: int Motornummer=0);
66  void Motoren_an(unsigned long dauer, unsigned int Geschwindigkeit_1, unsigned int Motoren,
int Motornummer, unsigned int Geschwindigkeit_2);
67  void i2c_Uebertragung(unsigned int *cycle_motoren, unsigned int *cycle_motoren_temp, int
i2c_addr); // Datenuebertragung an einen Arduino NANO

69  void manuell(); // manueller Betrieb
70  void automatik_1(); // Automatikbetrieb 1
71  void automatik_2(); // Automatikbetrieb 2
72  /*-----SETUP-----*/
73  void setup() {
74  Serial.begin(9600); // Baudrate: 9600bps
75  Wire.begin(); // I2C

77  pinMode(13, OUTPUT); // Reset am Arduino NANO
78  pinMode(3, INPUT); // Interrupt PIN
79  attachInterrupt(digitalPinToInterrupt(3), stopp_alles, RISING);

81  // Resetimpuls an den Arduino NANOs ausloesen
82  digitalWrite(13, LOW);
83  delayMicroseconds(50);
84  // PIN 38 bis 53 als Ausgang definieren (fuer Aenderung der Drehrichtung)
85  for (int i = 38; i < 54; i++) {
86  pinMode(i, OUTPUT);
87  }
88  for (int n = 0; n < 16; n++) { // Richtung zuweisen: Alle Motoren Drehrichtung rechts
89  Drehrichtung[n] = Richtung(rechts);
90  drehrichtung(&Motor_Dir[n], &Drehrichtung[n]);
91  }
92  digitalWrite(13, HIGH);
93  }
94  /*-----LOOP() SCHLEIFE-----*/
95  void loop() {
96  if (Serial.available() > 0) { // Auswahl des Modus
97  command_modus = Serial.readString();
98  temp_command = command_modus[0];
99  temp_max_motoren = (split(command_modus, '_', 1));
100  if ((temp_command == 'A') || (temp_command == 'B') || (temp_command == 'C')) {
101  command = temp_command;
102  max_motoren = temp_max_motoren.toInt();
103  }
104  }
105  if (command == 'A' ) { // Automatikmodus 1
106  automatik_1();
107  }
108  if (command == 'C' ) { // Automatikmodus 2
109  automatik_2();
110  }
111  if (command == 'B' ) { // manueller Modus
112  manuell();

114  /*-----MANUELLEN MODUS TESTEN-----*/
115  /*String mit Informationen zu den Motoren, zum testen ueber den "Serial Monitor":-----*/
116  //1a200_22_22_22_200_22_22_22_200_22_22_22_200_22_22_22_0_0_0_0_0_0_0_0_0_0_0_0_0_0_e
117  /*"a"-> Anfang des erwarteten Strings, "-" -> Trennzeichen, "e" -> Ende des Strings-----*/
118  /*vorderen 16 Zahlen->Impulszeit in Mikrosekunden (max:20000,min:110,AUS:22)-----*/
119  /*-----resultierende Pulsfrequenz = (10^6)/(2*Impulszeit)-----*/
120  /*hinteren 16 Zahlen->Richtung (0:rechts, 1:links)-----*/
121  /*-----*/
122  }
123  }
124  /*-----FUNKTIONEN FUER NEUSTART DES PROGRAMMS DURCH INTERRUPT(PIN3)-----*/
125  void stopp_alles() {
126  digitalWrite(13, LOW);
127  resetFunc();
128  }

```

```

130 /*-----DATENUEBERTRAGUNG AN EINEN ARDUINO NANO-----*/
131 void i2c_Uebertragung(unsigned int *cycle_motoren, unsigned int *cycle_motoren_temp, int
    i2c_addr) {
132     int array_idx = (i2c_addr - 1) * 4;
133     if ((cycle_motoren[array_idx] != cycle_motoren_temp[array_idx]) || (cycle_motoren[array_idx
        + 1] != cycle_motoren_temp[array_idx + 1])
134         || (cycle_motoren[array_idx + 2] != cycle_motoren_temp[array_idx + 2]) || (
            cycle_motoren[array_idx + 3] != cycle_motoren_temp[array_idx + 3])) {
135         cycle_motoren[array_idx] = cycle_motoren_temp[array_idx];
136         cycle_motoren[array_idx + 1] = cycle_motoren_temp[array_idx + 1];
137         cycle_motoren[array_idx + 2] = cycle_motoren_temp[array_idx + 2];
138         cycle_motoren[array_idx + 3] = cycle_motoren_temp[array_idx + 3];
139         Wire.beginTransmission(i2c_addr);
140         Wire.write((byte*)&cycle_motoren[array_idx], 4 * sizeof(unsigned int));
141         Wire.endTransmission();
142     }
143 }
144 /*-----PAUSE (warten auf Serielle Pause- oder Stoppanforderung im automatischen Betrieb)-----*/
145 void pause(unsigned int Geschwindigkeit_1, unsigned int Motoren, int Motornummer, unsigned
    int Geschwindigkeit_2) {
146     char current_command = command;
147     if (Serial.available() > 0) {
148         temp_command = (Serial.read());
149         if ((temp_command == 'P')) { // Pause
150             command = temp_command;
151             Serial.print(command);
152             while ((command != current_command)) {
153                 if (Serial.available() > 0) {
154                     temp_command = Serial.read();
155                     if ((temp_command == current_command)) { // Programm weiter laufen lassen
156                         command = temp_command;
157                     }
158                 }
159             }
160         }
161         if ((temp_command == 'S')) { // Stopp
162             command = temp_command;
163             if ((Geschwindigkeit_1 == CYCLE_MOTOR_AUS) && (Motoren == 0)) {
164                 if (Geschwindigkeit_2 != CYCLE_MOTOR_AUS) {
165                     Serial.print("Motor:");
166                     Serial.print(Motornummer + 1);
167                     print_richtung(Motornummer);
168                     Serial.print("_Pulsfrequenz:");
169                     Serial.print((1 / ((float)Geschwindigkeit_2 * 2))*pow(10, 6));
170                     Serial.println("Hz");
171                 } else Serial.println("alle_Motoren_aus");
172             }
173             else if ((Geschwindigkeit_1 == Geschwindigkeit_2) && (current_command == 'A')) {
174                 if (Geschwindigkeit_2 != CYCLE_MOTOR_AUS) {
175                     int i = 0;
176                     for (int n = 0; n < 16; n++) {
177                         if (Motoren & (1 << n)) {
178                             i++;
179                         }
180                     }
181                     if (i == 1) {
182                         Serial.print("Motor:");
183                     } else Serial.print("Motoren:");
184                     for (int n = 0, i = 0; n < 16; n++) {
185                         if (Motoren & (1 << n)) {
186                             i++;
187                             if (i > 1) {
188                                 Serial.print(",");
189                             }
190                             Serial.print(n + 1);
191                             print_richtung(n);
192                         }
193                     }
194                     Serial.print("_Pulsfrequenz:");
195                     Serial.print((1 / ((float)Geschwindigkeit_2 * 2))*pow(10, 6));
196                     Serial.println("Hz");
197                 } else Serial.println("alle_Motoren_aus");
198             }
199             else if ((Motornummer >= 0) && (current_command == 'C')) {
200                 if ((Geschwindigkeit_1 == CYCLE_MOTOR_AUS) && (Geschwindigkeit_2 == CYCLE_MOTOR_AUS))
                {
201                     Serial.println("alle_Motoren_aus");
202                 }
203                 else {
204                     if ((Motoren > 0)) {
205                         int i = 0;
206                         for (int n = 0; n < 16; n++) {

```

```

207         if (Motoren & (1 << n)) {
208             i++;
209         }
210     }
211     if ((Motoren & (1 << Motornummer)) == 0) {
212         if (i == 1) {
213             Serial.print("Motor:");
214         } else Serial.print("Motoren:");

216         for (int n = 0, i = 0; n < 16; n++) {
217             if (Motoren & (1 << n)) {
218                 i++;
219                 if (i > 1) {
220                     Serial.print(",");
221                 }
222                 Serial.print(n + 1);
223                 print_richtung(n);
224             }
225         }
226         Serial.print("_Pulsfrequenz:");
227         Serial.print((1 / ((float)Geschwindigkeit_1 * 2))*pow(10, 6));
228         Serial.print("Hz");
229         if (Geschwindigkeit_2 != CYCLE_MOTOR_AUS) {
230             Serial.print("_und");
231         } else Serial.println();
232     }
233 }
234 if (Geschwindigkeit_2 != CYCLE_MOTOR_AUS) {
235     Serial.print("Motor:");
236     Serial.print(Motornummer + 1);
237     print_richtung(Motornummer);
238     Serial.print("_Pulsfrequenz:");
239     Serial.print((1 / ((float)Geschwindigkeit_2 * 2))*pow(10, 6));
240     Serial.println("Hz");
241 }
242 }
243 }
244 while ((command != current_command)) {
245     if (Serial.available() > 0) {
246         temp_command = Serial.read();
247         if ((temp_command == 'X')) { // Reset durchfuehren
248             stopp_alles();
249         }
250         if ((temp_command == current_command)) { // Programm weiter laufen lassen
251             command = temp_command;
252         }
253     }
254 }
255 }
256 }
257 }
258 /*-----WARTE FUNKTION-----*/
259 void warten(unsigned long dauer, unsigned int Geschwindigkeit_1, unsigned int Motoren, int
    Motornummer, unsigned int Geschwindigkeit_2) {
260     // aktuelle Geschwindigkeit fuer "dauer"-Schleifendurchlaeufer beibehalten
261     for (unsigned long warte = 0; warte <= dauer; warte++) {
262         // warten auf Pause Befehl
263         pause(Geschwindigkeit_1, Motoren, Motornummer, Geschwindigkeit_2);
264     }
265 }
266 /*-----FUNKTION FUER MOTORDREHRICHTUNG-----*/
267 void drehrichtung (int *Motor_DIR, bool * DIR) {
268     digitalWrite(*Motor_DIR, *DIR); // DIR: 0 oder 1 (0=>rechts, 1=>links)
269 }
270 /*-----Funktion zum String zerteilen-----*/
271 String split(String s, char parser, int index) {
272     String rs = "";
273     //int parserIndex = index;
274     int parserCnt = 0;
275     int rFromIndex = 0, rToIndex = -1;
276     while (index >= parserCnt) {
277         rFromIndex = rToIndex + 1;
278         rToIndex = s.indexOf(parser, rFromIndex);
279         if (index == parserCnt) {
280             if (rToIndex == 0 || rToIndex == -1) return "";
281             return s.substring(rFromIndex, rToIndex);
282         } else parserCnt++;
283     }
284     return rs;
285 }

```

```

288 /*-----DREHRICHTUNG SERIELL WEITERGEBEN-----*/
289 void print_richtung(int index) {
290     switch ((int)Drehrichtung[index]) {
291         case 0: Serial.print("RECHTS");
292             break;
293         case 1: Serial.print("LINKS");
294             break;
295     }
296 }
297 /*-----FUNKTIONEN FUER BELIEBIGE KOMBINATIONEN DER MOTOREN-----*/
298 void Motoren_an(unsigned int Geschwindigkeit_1, unsigned int Motoren, int Motornummer,
299                unsigned int Geschwindigkeit_2) {
300     // jedem Motor eine Geschwindigkeit zuweisen
301     for (int n = 0; n < 16; n++) {
302         if (Motoren & (1 << n)) {
303             cycle_motoren_temp[n] = Geschwindigkeit_1;
304         } else cycle_motoren_temp[n] = CYCLE_MOTOR_AUS;
305     }
306     if ((Motornummer >= 0) && (Motornummer < 16)) {
307         // einem Motor eine andere Geschwindigkeit zuweisen
308         cycle_motoren_temp[Motornummer] = Geschwindigkeit_2;
309     }
310     if ((Motornummer >= 4) || (Motoren >= 16)) {
311         // Datenebertragung an einen Arduino NANO fuer Ansteuerung der Motoren 1 bis 4
312         i2c_Uebertragung(cycle_motoren, cycle_motoren_temp, 1);
313         // Datenebertragung an einen Arduino NANO fuer Ansteuerung der Motoren 5 bis 8
314         i2c_Uebertragung(cycle_motoren, cycle_motoren_temp, 2);
315         if ((Motornummer >= 8) || (Motoren >= 256)) {
316             // Datenebertragung an einen Arduino NANO fuer Ansteuerung der Motoren 9 bis 12
317             i2c_Uebertragung(cycle_motoren, cycle_motoren_temp, 3);
318             if ((Motornummer >= 12) || (Motoren >= 4096)) {
319                 // Datenebertragung an einen Arduino NANO fuer Ansteuerung der Motoren 13 bis 16
320                 i2c_Uebertragung(cycle_motoren, cycle_motoren_temp, 4);
321             }
322         }
323     }
324     warten(1000, Geschwindigkeit_1, Motoren, Motornummer, Geschwindigkeit_2);
325 }
326 /*-----MANUELLER BETRIEB-----*/
327 void manuell() {
328     if ((Serial.readStringUntil('a').toInt() != 1)) { // Warten auf String mit Daten
329     }
330     else {
331         // String mit Daten erhalten und bis zum Ende auslesen
332         command_Motoren = Serial.readStringUntil('e');
333         for (int i = 0; i < 32; i++) {
334             if (i < 16) {
335                 // String zerteilen und Daten zuweisen
336                 command_Motor[i] = split(command_Motoren, '_', i);
337                 cycle_motoren_temp[i] = (unsigned int)command_Motor[i].toInt();
338             }
339             else {
340                 richtung[i - 16] = (split(command_Motoren, '_', i));
341                 switch (richtung[i - 16].toInt()) {
342                     case 0: Drehrichtung[i - 16] = 0;
343                         break;
344                     case 1: Drehrichtung[i - 16] = 1;
345                         break;
346                 }
347                 drehrichtung(&Motor_Dir[i - 16], &Drehrichtung[i - 16]);
348             }
349         }
350         // Datenebertragung an einen Arduino NANO fuer Ansteuerung der Motoren 1 bis 4
351         i2c_Uebertragung(cycle_motoren, cycle_motoren_temp, 1);
352         // Datenebertragung an einen Arduino NANO fuer Ansteuerung der Motoren 5 bis 8
353         i2c_Uebertragung(cycle_motoren, cycle_motoren_temp, 2);
354         // Datenebertragung an einen Arduino NANO fuer Ansteuerung der Motoren 9 bis 12
355         i2c_Uebertragung(cycle_motoren, cycle_motoren_temp, 3);
356         // Datenebertragung an einen Arduino NANO fuer Ansteuerung der Motoren 13 bis 16
357         i2c_Uebertragung(cycle_motoren, cycle_motoren_temp, 4);
358     }
359 }
360 /*-----AUTOMATIKBETRIEB 1-----*/
361 void automatik_1 () {
362     // Richtung wechseln fuer alle Motoren
363     for (int dir = 0; dir < 2; dir++) {
364         // Richtung zuweisen: dir=0(RECHTS), dir=1(LINKS)
365         for (int n = 0; n < 16; n++) {
366             Drehrichtung[n] = Richtung(dir);
367             drehrichtung(&Motor_Dir[n], &Drehrichtung[n]);
368         }
369     }
370     // jeden Motor einmal alleine starten

```

```

369     for (int motor = 0; motor < 16; motor++) {
370         // Geschwindigkeit erhoeuen
371         for (cycle = CYCLE_MAX; cycle >= CYCLE_MIN; cycle = cycle - CYCLE_SCHRITTWEITE) {
372             Motoren_an(CYCLE_MOTOR_AUS, 0, motor, cycle);
373         }
374         Motoren_an(CYCLE_MOTOR_AUS, 0, motor, CYCLE_MIN);
375         warten(300000, CYCLE_MOTOR_AUS, 0, motor, CYCLE_MIN);
376         // Geschwindigkeit verringern
377         for (cycle = CYCLE_MIN; cycle <= CYCLE_MAX; cycle = cycle + CYCLE_SCHRITTWEITE) {
378             Motoren_an(CYCLE_MOTOR_AUS, 0, motor, cycle);
379         }
380         // Motor ausschalten
381         Motoren_an(CYCLE_MOTOR_AUS, 0, motor, CYCLE_MOTOR_AUS);
382         warten(300000, CYCLE_MOTOR_AUS, 0, motor, CYCLE_MOTOR_AUS);
383     }
384 }
385 // Richtung wechseln fuer alle Motoren
386 for (int dir = 0; dir < 2; dir++) {
387     // Richtung zuweisen: dir=0(RECHTS),dir=1(LINKS)
388     for (int n = 0; n < 16; n++) {
389         Drehrichtung[n] = Richtung(dir);
390         drehrichtung(&Motor_Dir[n], &Drehrichtung[n]);
391     }
392     for (int i = 0; i <= 16 - max_motoren; i++) {
393         // binar aufwaerts zaehlen, Motoren in verschiedenen Kombinationen laufen lassen
394         for (long anzahl = 1; anzahl <= (long)pow(2, max_motoren); anzahl++) {
395             // jedem Motor eine Drehrichtung zuweisen
396             for (int n = 0; n < 16; n++) {
397                 if ((anzahl << i) & (1 << n)) {
398                     Drehrichtung[n] = !Drehrichtung[n]; // Drehrichtung toggeln
399                 } else Drehrichtung[n] = Drehrichtung[n];
400                 drehrichtung(&Motor_Dir[n], &Drehrichtung[n]);
401             }
402             // Geschwindigkeit erhoeuen
403             for (cycle = CYCLE_MAX; cycle >= CYCLE_MIN; cycle = cycle - CYCLE_SCHRITTWEITE) {
404                 Motoren_an(cycle, anzahl << i, -1, cycle);
405             }
406             Motoren_an(CYCLE_MIN, anzahl << i, -1, CYCLE_MIN);
407             warten(300000, CYCLE_MIN, anzahl << i, -1, CYCLE_MIN); //ca. 8 Sekunden bei 800000
408             // laufende Motoren bei der Endgeschwindigkeit eine laengere Zeit laufen lassen
409             if (anzahl == (long)pow(2, max_motoren)) {
410                 warten(1700000, CYCLE_MIN, anzahl << i, -1, CYCLE_MIN);
411             }
412             // Geschwindigkeit verringern
413             for (cycle = CYCLE_MIN; cycle <= CYCLE_MAX; cycle = cycle + CYCLE_SCHRITTWEITE) {
414                 Motoren_an(cycle, anzahl << i, -1, cycle);
415             }
416             // Alle laufenden Motoren ausschalten
417             Motoren_an(CYCLE_MOTOR_AUS, anzahl << i, -1, CYCLE_MOTOR_AUS);
418             warten(300000, CYCLE_MOTOR_AUS, anzahl << i, -1, CYCLE_MOTOR_AUS);
419         }
420     }
421 }
422 }
423 /*-----AUTOMATIKBETRIEB 2-----*/
424 void automatik_2 () {
425     for (int dir = 0; dir < 4; dir++) { //
426         Richtung wechseln fuer alle Motoren //
427         if (dir < 2) { //
428             Richtung zuweisen: dir=0(RECHTS),dir=1(LINKS)
429             for (int i = 0; i < 16; i++) {
430                 Drehrichtung[i] = Richtung(dir);
431                 drehrichtung(&Motor_Dir[i], &Drehrichtung[i]);
432             }
433         }
434         else if (dir == 2) { //
435             Richtung zuweisen: ungerade Motornummern(RECHTS), gerade Motornummern(LINKS)
436             for (int i = 0; i < 16; i++) {
437                 if ((i % 2 == 0) || (i == 0)) {
438                     Drehrichtung[i] = Richtung(rechts);
439                     drehrichtung(&Motor_Dir[i], &Drehrichtung[i]);
440                 }
441                 else {
442                     Drehrichtung[i] = Richtung(links);
443                     drehrichtung(&Motor_Dir[i], &Drehrichtung[i]);
444                 }
445             }
446         }
447         else { //
448             Richtung zuweisen: ungerade Motornummern(LINKS), gerade Motornummern(RECHTS)
449             for (int i = 0; i < 16; i++) {
450                 Drehrichtung[i] = !Drehrichtung[i];

```

```
447     drehrichtung(&Motor_Dir[i], &Drehrichtung[i]);
448   }
449 }
450 for (int j = 0; j <= (16 - max_motoren); j++) {
451   for (long i = 0, anzahl = 1; i < max_motoren; i++) {
452     // Motoren nacheinander anschalten, Beginn mit Motor 1
453     if (i > 0) {
454       anzahl = (1 << i);
455     }
456     for (cycle = CYCLE_MAX; cycle >= CYCLE_MIN; cycle = cycle - CYCLE_SCHRITTWEITE) {
457       // Geschwindigkeit erhoeihen
458       Motoren_an(CYCLE_MIN, (anzahl - 1) << j, (i + j), cycle);
459     }
460     Motoren_an(CYCLE_MIN, (anzahl - 1) << j, (i + j), CYCLE_MIN);
461     warten(600000, CYCLE_MIN, (anzahl - 1) << j, (i + j), CYCLE_MIN);
462   }
463   warten(1700000, CYCLE_MIN, ((long) pow(2, (int)max_motoren) - 1) << j, -1, CYCLE_MIN);
464   for (long i = 0, anzahl = (long) pow(2, (int)max_motoren) + 1; i < max_motoren; i++) {
465     // Motoren nacheinander ausschalten, Beginn mit Motor 1
466     anzahl = anzahl - (1 << i);
467     for (cycle = CYCLE_MIN; cycle <= CYCLE_MAX; cycle = cycle + CYCLE_SCHRITTWEITE) {
468       // Geschwindigkeit verringern
469       Motoren_an(CYCLE_MIN, (anzahl - 1) << j, (i + j), cycle);
470     }
471     Motoren_an(CYCLE_MIN, (anzahl - 1) << j, (i + j), CYCLE_MOTOR_AUS);
472     // Motor ausgeschalten
473     warten(300000, CYCLE_MIN, (anzahl - 1) << j, (i + j), CYCLE_MOTOR_AUS);
474   }
475 }
476 }
477 }
478 }
479 }
480 }
481 }
482 }
483 }
484 }
485 }
486 }
487 }
488 }
489 }
490 }
491 }
492 }
493 }
494 }
495 }
496 }
497 }
498 }
499 }
500 }
501 }
502 }
503 }
504 }
505 }
506 }
507 }
508 }
509 }
510 }
511 }
512 }
513 }
514 }
515 }
516 }
517 }
518 }
519 }
520 }
521 }
522 }
523 }
524 }
525 }
526 }
527 }
528 }
529 }
530 }
531 }
532 }
533 }
534 }
535 }
536 }
537 }
538 }
539 }
540 }
541 }
542 }
543 }
544 }
545 }
546 }
547 }
548 }
549 }
550 }
551 }
552 }
553 }
554 }
555 }
556 }
557 }
558 }
559 }
560 }
561 }
562 }
563 }
564 }
565 }
566 }
567 }
568 }
569 }
570 }
571 }
572 }
573 }
574 }
575 }
576 }
577 }
578 }
579 }
580 }
581 }
582 }
583 }
584 }
585 }
586 }
587 }
588 }
589 }
590 }
591 }
592 }
593 }
594 }
595 }
596 }
597 }
598 }
599 }
600 }
601 }
602 }
603 }
604 }
605 }
606 }
607 }
608 }
609 }
610 }
611 }
612 }
613 }
614 }
615 }
616 }
617 }
618 }
619 }
620 }
621 }
622 }
623 }
624 }
625 }
626 }
627 }
628 }
629 }
630 }
631 }
632 }
633 }
634 }
635 }
636 }
637 }
638 }
639 }
640 }
641 }
642 }
643 }
644 }
645 }
646 }
647 }
648 }
649 }
650 }
651 }
652 }
653 }
654 }
655 }
656 }
657 }
658 }
659 }
660 }
661 }
662 }
663 }
664 }
665 }
666 }
667 }
668 }
669 }
670 }
671 }
672 }
673 }
674 }
675 }
676 }
677 }
678 }
679 }
680 }
681 }
682 }
683 }
684 }
685 }
686 }
687 }
688 }
689 }
690 }
691 }
692 }
693 }
694 }
695 }
696 }
697 }
698 }
699 }
700 }
701 }
702 }
703 }
704 }
705 }
706 }
707 }
708 }
709 }
710 }
711 }
712 }
713 }
714 }
715 }
716 }
717 }
718 }
719 }
720 }
721 }
722 }
723 }
724 }
725 }
726 }
727 }
728 }
729 }
730 }
731 }
732 }
733 }
734 }
735 }
736 }
737 }
738 }
739 }
740 }
741 }
742 }
743 }
744 }
745 }
746 }
747 }
748 }
749 }
750 }
751 }
752 }
753 }
754 }
755 }
756 }
757 }
758 }
759 }
760 }
761 }
762 }
763 }
764 }
765 }
766 }
767 }
768 }
769 }
770 }
771 }
772 }
773 }
774 }
775 }
776 }
777 }
778 }
779 }
780 }
781 }
782 }
783 }
784 }
785 }
786 }
787 }
788 }
789 }
790 }
791 }
792 }
793 }
794 }
795 }
796 }
797 }
798 }
799 }
800 }
801 }
802 }
803 }
804 }
805 }
806 }
807 }
808 }
809 }
810 }
811 }
812 }
813 }
814 }
815 }
816 }
817 }
818 }
819 }
820 }
821 }
822 }
823 }
824 }
825 }
826 }
827 }
828 }
829 }
830 }
831 }
832 }
833 }
834 }
835 }
836 }
837 }
838 }
839 }
840 }
841 }
842 }
843 }
844 }
845 }
846 }
847 }
848 }
849 }
850 }
851 }
852 }
853 }
854 }
855 }
856 }
857 }
858 }
859 }
860 }
861 }
862 }
863 }
864 }
865 }
866 }
867 }
868 }
869 }
870 }
871 }
872 }
873 }
874 }
875 }
876 }
877 }
878 }
879 }
880 }
881 }
882 }
883 }
884 }
885 }
886 }
887 }
888 }
889 }
890 }
891 }
892 }
893 }
894 }
895 }
896 }
897 }
898 }
899 }
900 }
901 }
902 }
903 }
904 }
905 }
906 }
907 }
908 }
909 }
910 }
911 }
912 }
913 }
914 }
915 }
916 }
917 }
918 }
919 }
920 }
921 }
922 }
923 }
924 }
925 }
926 }
927 }
928 }
929 }
930 }
931 }
932 }
933 }
934 }
935 }
936 }
937 }
938 }
939 }
940 }
941 }
942 }
943 }
944 }
945 }
946 }
947 }
948 }
949 }
950 }
951 }
952 }
953 }
954 }
955 }
956 }
957 }
958 }
959 }
960 }
961 }
962 }
963 }
964 }
965 }
966 }
967 }
968 }
969 }
970 }
971 }
972 }
973 }
974 }
975 }
976 }
977 }
978 }
979 }
980 }
981 }
982 }
983 }
984 }
985 }
986 }
987 }
988 }
989 }
990 }
991 }
992 }
993 }
994 }
995 }
996 }
997 }
998 }
999 }
1000 }
```

A.1.2 Programm für die Schrittmotoransteuerung auf den Arduino Nano Entwicklungsboards

Listing A.2: Programm für die Schrittmotoransteuerung auf den Arduino Nano Entwicklungsboards

```

1 #include <Wire.h>
2 /*-----VARIABLEN UND KONSTANTEN-----*/
3 volatile unsigned int Cycle_motoren[4] = {22, 22, 22, 22}; // Wert "22" wird als
   ausgeschalteter Zustand interpretiert
4
5 // Module 1 bis 4 ----- Motoren angesteuert ueber Arduino NANO
6 const int Motoren_1_5_9_13_Puls = 4;
7 const int Motoren_2_6_10_14_Puls = 5;
8 const int Motoren_3_7_11_15_Puls = 6;
9 const int Motoren_4_8_12_16_Puls = 7;
10 const int Motor_Puls[4] = {Motoren_1_5_9_13_Puls, Motoren_2_6_10_14_Puls,
   Motoren_3_7_11_15_Puls, Motoren_4_8_12_16_Puls};
11
12 bool Motoren_1_5_9_13_State = false;
13 bool Motoren_2_6_10_14_State = false;
14 bool Motoren_3_7_11_15_State = false;
15 bool Motoren_4_8_12_16_State = false;
16 bool Motor_State[4] = {Motoren_1_5_9_13_State, Motoren_2_6_10_14_State,
   Motoren_3_7_11_15_State, Motoren_4_8_12_16_State};
17
18 unsigned long MotorLastMicros[4] = {};
19 unsigned long currentMicros;
20 /*-----PROTOTYPEN-----*/
21 void pegel_wechseln (unsigned long *M_LastMicros, volatile unsigned int *Cycle , const int *
   Motor_Puls, bool *State); // Pegel fuer Ansteuerung der Motoren aendern
22 /*-----SETUP-----*/
23 void setup()
24 {
25     DDRD |= (B11110000); // Digitalpins D4 bis D7 als Ausgang definieren
26     PORTD &= ~(B11110000); // Digitalpins D4 bis D7 auf LOW-Pegel setzen
27     Wire.begin(3); // I2C: Adresse 1 -> Modul 1, Adresse 2 -> Modul 2,
   Adresse 3 -> Modul 3, Adresse 4 -> Modul 4
28     Wire.onReceive(receiveEvent);
29 }
30 /*-----LOOP() SCHLEIFE-----*/
31 void loop()
32 {
33     pegel_wechseln(&MotorLastMicros[0], &Cycle_motoren[0], &Motor_Puls[0], &Motor_State[0]);
34 }
35 /*-----EVENT HANDLER-----*/
36 void receiveEvent(int anzahl)
37 {
38     if (anzahl != (4 * sizeof(unsigned int))) {
39         while (Wire.available()) {
40             Wire.read();
41         } return;
42     }
43     if (Wire.available()) {
44         Wire.readBytes((byte *) &Cycle_motoren[0], 4 * sizeof(unsigned int));
45     }
46 }
47 /*-----FUNKTION FUER MOTORGESCHWINDIGKEIT-----*/
48 void pegel_wechseln (unsigned long *M_LastMicros, volatile unsigned int *Cycle , const int *
   Motor_Puls, bool *State) { // Pegel fuer Ansteuerung der Motoren aendern
49     currentMicros = micros();
50     for (int i = 0; i < 4; i++) {
51         if ((Cycle[i] != 22)) {
52             if (currentMicros - M_LastMicros[i] >= Cycle[i]) {
53                 M_LastMicros[i] = currentMicros;
54                 // Abfrage, ob aktueller Zustand = LOW
55                 if (State[i] == 0) {
56                     PORTD |= ((B11110000) & (1 << Motor_Puls[i])); // PIN auf HIGH Pegel setzen
57                     } else PORTD &= ~(B11110000) & (1 << Motor_Puls[i]); // PIN auf LOW Pegel setzen
58                     State[i] = !State[i]; // State Variable toggeln
59                 }
60             } else PORTD &= ~(B11110000) & (1 << Motor_Puls[i]); // PIN auf LOW Pegel setzen
61         }
62     }
63 }
64 /*-----PROGRAMMENDE-----*/
65 /*-----*/

```


A.1.3 Programm für die Signalüberwachung auf dem Arduino Mega2560 Entwicklungsboard

Listing A.3: Programm für die Signalüberwachung

```

1 #include <string.h>
2 /*-----VARIABLEN UND KONSTANTEN-----*/
3 unsigned long Endstufen1bis8 = 0x00;
4 unsigned long Endstufen9bis16 = 0x00;
5 unsigned long Limitsignale = 0x00;
6 unsigned long Limit_Eingang_alt = 0x00;
7 unsigned long Limit_Eingang_neu = 0x00;
8 String Start = "";
9 char charToString[2];
10 /*-----PROTOTYPEN-----*/
11 void Fehler_Endstufe(char *Fehlermeldung);
12 void Fehler_Limitsignal(char *Fehlermeldung);
13 /*-----SETUP-----*/
14 void setup() {
15     Serial.begin(9600); // Baudrate: 9600bps
16     // Port A als Eingang
17     DDRA &= ~(B11111111); // Limitsignale VCW + VCCW, Reihe A - D (D22(VCW_A) ... , D29(VCCW_D))
18     // Port C als Eingang
19     DDRC &= ~(B11111111); // Fehlersignale der Endstufen: FK1 bis FK8 (D37 bis D30)
20     // Port L als Eingang
21     DDRL &= ~(B11111111); // Fehlersignale der Endstufen: FK9 bis FK16 (D49 bis D42)
22     // PB7 - PB4 als Eingang
23     DDRB &= ~(B11110000); // Limitsignale, Reihe C + D (PB4=D10(CW_C) ... , PB7=D13(CCW_D))
24     // PH6 - PH3 als Eingang
25     DDRH &= ~(B01111000); // Limitsignale, Reihe A + B (PH3=D6 (CW_A) ... , PH6=D9 (CCW_B))
26     charToString[1] = '\0';
27     Limit_Eingang_neu = (((PINB & B11110000) | ((PINH & B01111000) >> 3)) ^ (0xFF));
28     Limit_Eingang_alt = Limit_Eingang_neu;
29     Limitsignale = PINA; // Port A einlesen und in Variable abspeichern
30 }
31 /*-----LOOP() SCHLEIFE-----*/
32 void loop() {
33     if (Serial.available() > 0) { // warten auf Start-Befehl
34         Start = Serial.readString();
35     }
36     if (Start == "START") {
37         char Fehlermeldung[396] = {};
38         // Limitschalter einlesen
39         Limit_Eingang_neu = (((PINB & B11110000) | ((PINH & B01111000) >> 3)) ^ (0xFF));
40         if (Limit_Eingang_alt != Limit_Eingang_neu) {
41             // warten um Anschlussmodulen im ZMX-Ueberrahmen Zeit zum Verarbeiten neuer Werte zu
42             // geben
43             for (unsigned long warte = 0; warte < 50000; warte++) {
44                 Limitsignale = PINA; // Port A einlesen und in Variable abspeichern
45             }
46             Limit_Eingang_alt = Limit_Eingang_neu;
47         }
48         else {
49             Limitsignale = PINA; // Port A einlesen und in Variable abspeichern
50         }
51         Endstufen1bis8 = PINC; // Port C einlesen und in Variable abspeichern
52         Endstufen9bis16 = PINL; // Port L einlesen und in Variable abspeichern
53         if ((Endstufen1bis8 != 0x00) || (Endstufen9bis16 != 0x00) || (Limitsignale !=
54             Limit_Eingang_neu)) {
55             // Fehlermeldung von Endstufen
56             // Fehlermeldung von Endstufen
57             if ((Endstufen1bis8 != 0x00) || (Endstufen9bis16 != 0x00)) {
58                 Fehler_Endstufe(Fehlermeldung);
59             }
60             // Fehlermeldung von Limitsignalen
61             if (Limitsignale != Limit_Eingang_neu) {
62                 Fehler_Limitsignal(Fehlermeldung);
63             }
64             Serial.print(Fehlermeldung); // Fehlermeldungen seriell senden
65             Start = ""; // Startbedingung zuruecksetzen
66         }
67     }
68 }
69 /*-----Fehler bei Endstufen-----*/
70 void Fehler_Endstufe(char *Fehlermeldung) {
71     strcat(Fehlermeldung, "FEHLER:_Fehlermeldung_Endstufen:_");
72     int fehler_anzahl = 0;
73     char Endstufe_Nr = '1';
74     int zehner = 0;
75     // pruefen, bei welchen Endstufen ein Fehler gemeldet wurde
76     for (int n = 0; n < 16; n++) {

```

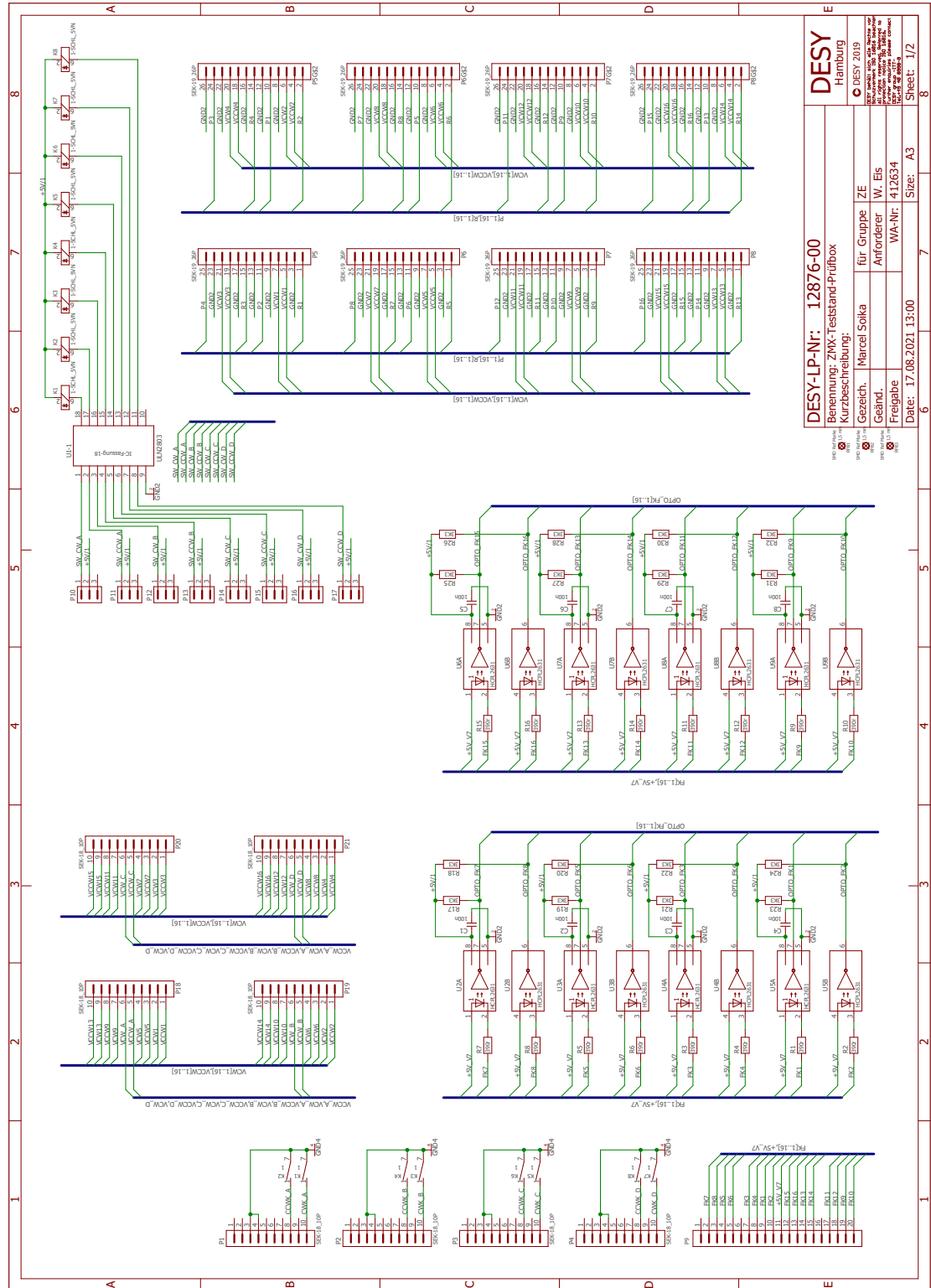
```

74 charToString[0] = Endstufe_Nr;
75 if (n < 8) {
76     if (Endstufen1bis8 & (1 << n)) {
77         fehler_anzahl++;
78         if (fehler_anzahl > 1) {
79             strcat(Fehlermeldung, ",");
80         }
81         strcat(Fehlermeldung, "Endstufe");
82         strcat(Fehlermeldung, charToString);
83     }
84 }
85 else {
86     if (Endstufen9bis16 & (1 << (n - 8))) {
87         fehler_anzahl++;
88         if (fehler_anzahl > 1) {
89             strcat(Fehlermeldung, ",");
90         }
91         strcat(Fehlermeldung, "Endstufe");
92         if (zehner == 1) {
93             strcat(Fehlermeldung, "1");
94         }
95         strcat(Fehlermeldung, charToString);
96     }
97 }
98 if (Endstufe_Nr < '9') {
99     Endstufe_Nr++;
100 } else {
101     zehner = 1;
102     Endstufe_Nr = '0';
103 }
104 }
105 strcat(Fehlermeldung, "\n");
106 }
107 /*-----Fehler bei Limitsignalen-----*/
108 void Fehler_Limitsignal(char *Fehlermeldung) {
109     if (strcmp(Fehlermeldung, "") != 0) {
110         strcat(Fehlermeldung, "oooooooooooooooooooo");
111     }
112     strcat(Fehlermeldung, "FEHLER:_Fehlermeldung_Limitsignale:_");
113     int fehler_anzahl = 0;
114     char reihe = 'A'; // Variable fuer die Reihe auf der Rueckseite des ZMX-Ueberrahmens
115     for (int cw = 0, ccw = 1; cw < 8; ccw = ccw + 2, cw = cw + 2, reihe++) {
116         charToString[0] = reihe;
117         // pruefen, ob und in welcher Reihe (A bis D) Fehler bei Limitsignal-CW
118         if ((Limitsignale ^ Limit_Eingang_neu) & (1 << cw)) {
119             fehler_anzahl++;
120             if (fehler_anzahl > 1) {
121                 strcat(Fehlermeldung, ",");
122             }
123             strcat(Fehlermeldung, "CW");
124             strcat(Fehlermeldung, "(Reihe");
125             strcat(Fehlermeldung, charToString);
126             strcat(Fehlermeldung, ")");
127         }
128         // pruefen, ob und in welcher Reihe (A bis D) Fehler bei Limitsignal-CCW
129         if ((Limitsignale ^ Limit_Eingang_neu) & (1 << ccw)) {
130             fehler_anzahl++;
131             if (fehler_anzahl > 1) {
132                 strcat(Fehlermeldung, ",");
133             }
134             strcat(Fehlermeldung, "CCW");
135             strcat(Fehlermeldung, "(Reihe");
136             strcat(Fehlermeldung, charToString);
137             strcat(Fehlermeldung, ")");
138         }
139     }
140     strcat(Fehlermeldung, "\n");
141 }
142 /*-----PROGRAMMENDE-----*/
143 /*-----*/
144 /*-----*/

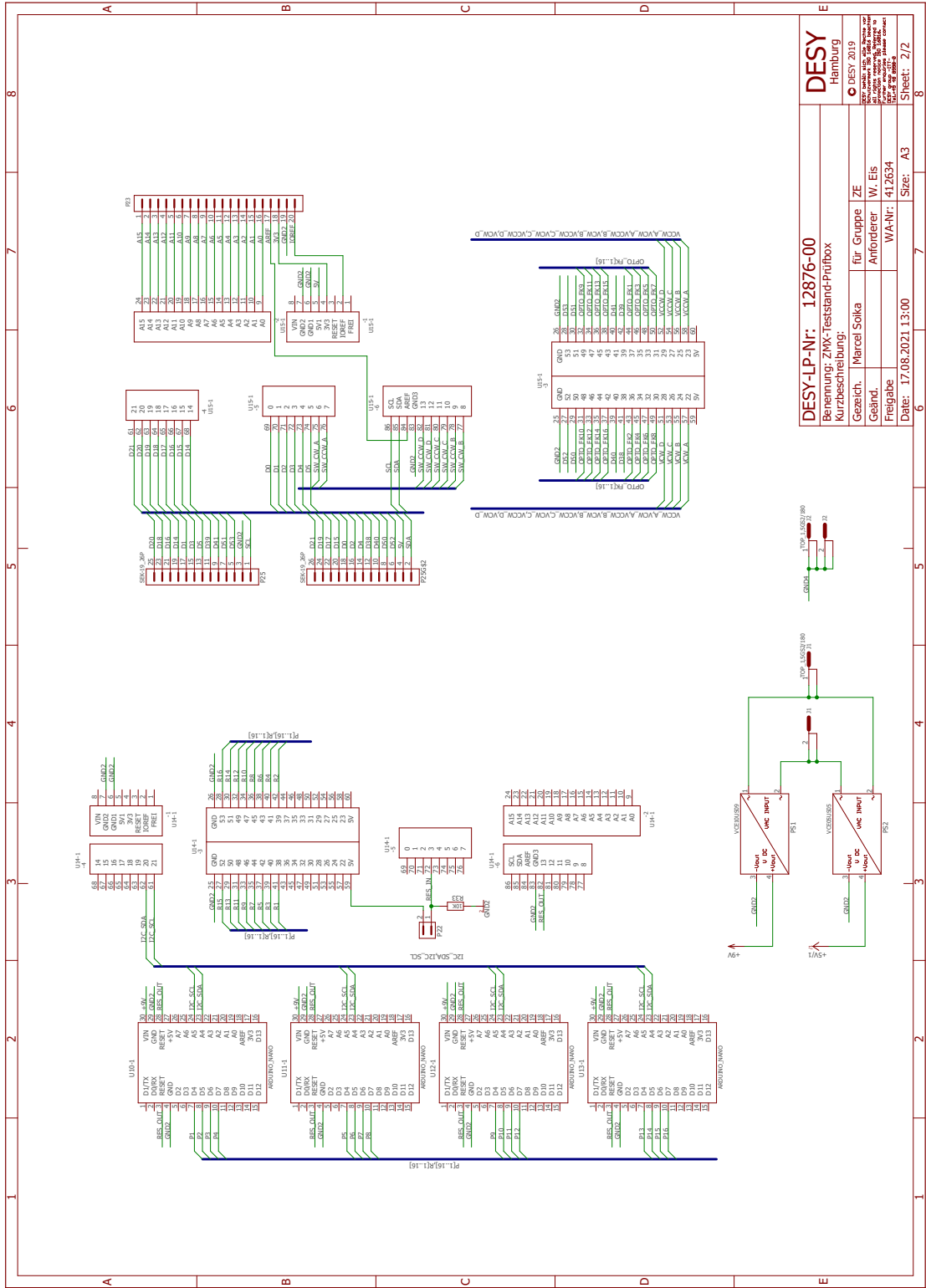
```

A.2 Leiterplatten für die Testbox

A.2.1 Schaltplan der Hauptleiterplatte der Testbox



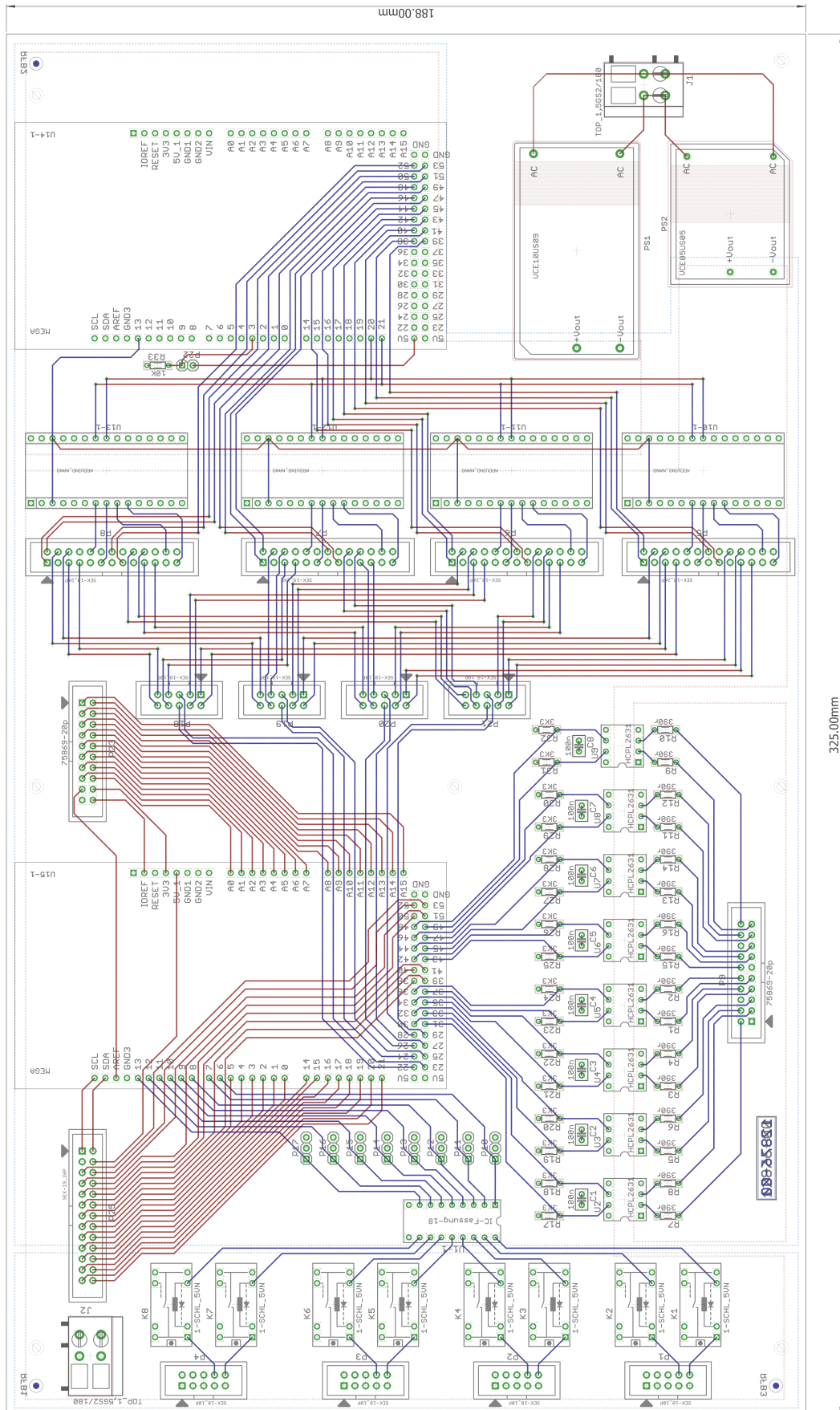
17.08.2021 13:00 N:\public\Artikel_Baugruppen\12000-12999\12800-12899\12876\12876-00\Design_Daten\ZMX-Teststand-Prüfbox\12876-00.sch (Sheet: 1/2)



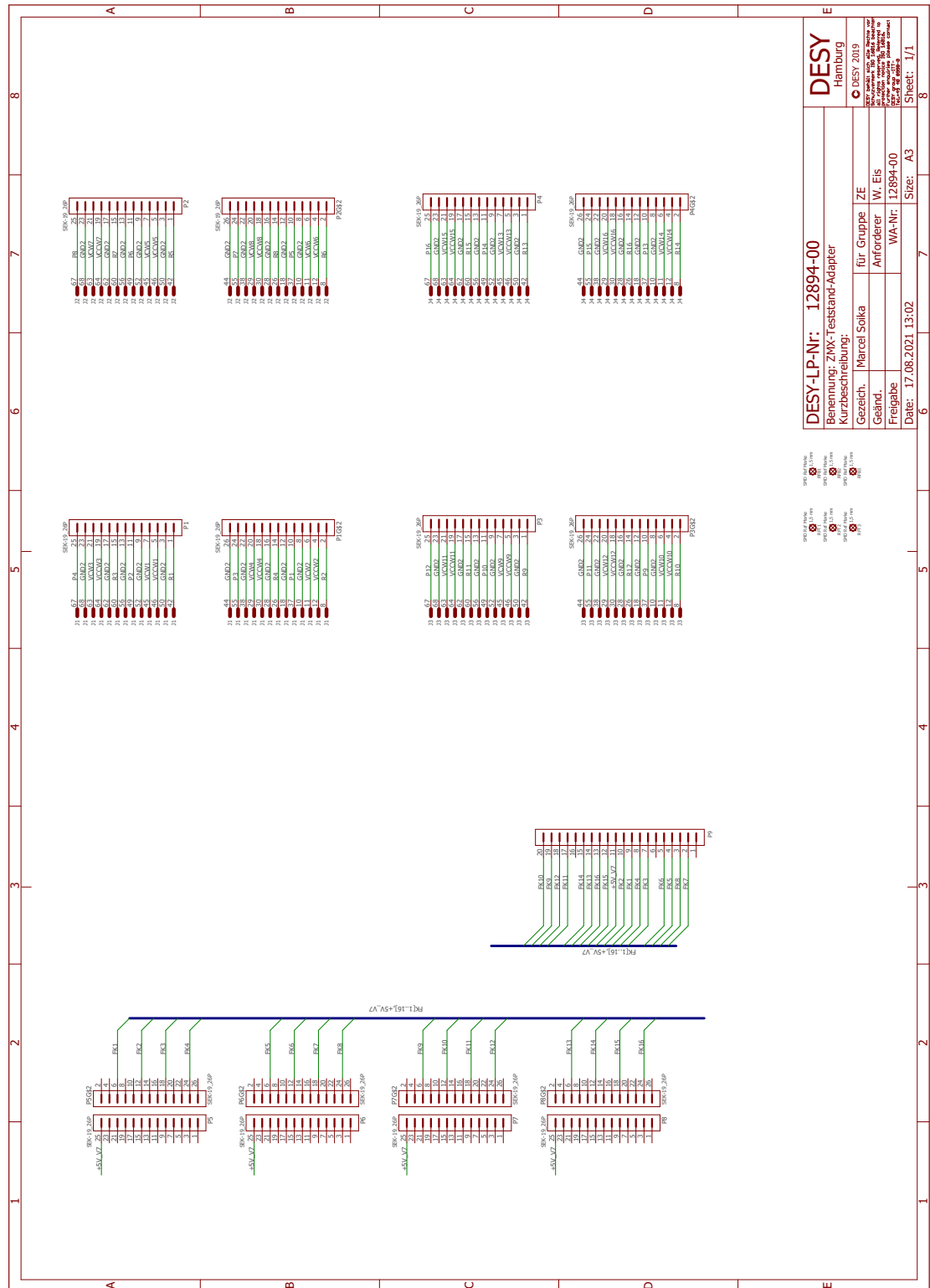
DESY-IP-Nr: 12876-00	
Benennung: ZMX-Teststand-Prüfbox	
Kurzbeschreibung:	
Gezeichnet:	Marcel Soika
Anforderer:	für Gruppe ZE
W. Eis	
Freigabe	WA-Nr: 412634
Date: 17.08.2021 13:00	Size: A3
Sheet: 2/2	8

17.08.2021 13:00 N:\public\Artikel_Baugruppen\12000-12999\12876\12876-00\Design_Daten\ZMX-Teststand-Prüfbox\12876-00.sch (Sheet: 2/2)

A.2.2 Layout der Hauptleiterplatte der Testbox

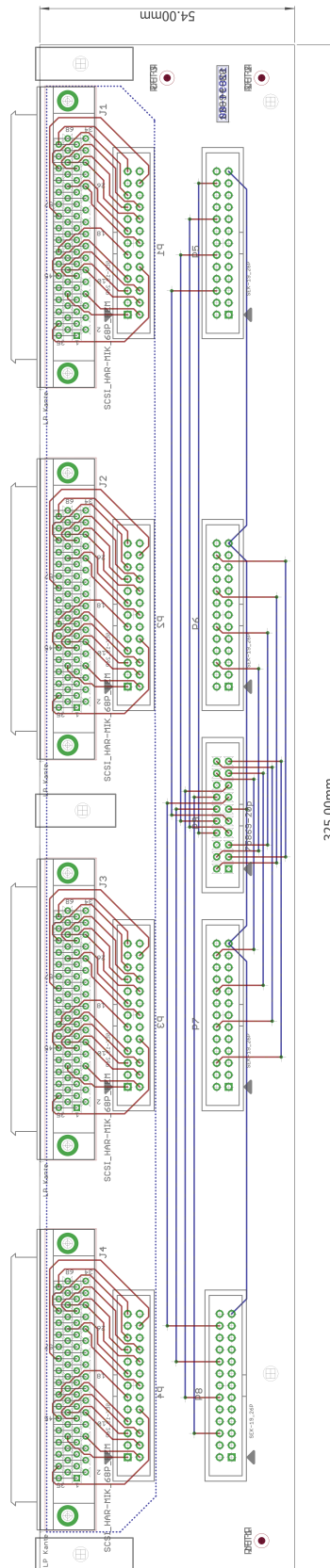


A.2.3 Schaltplan der Adapterleiterplatte der Testbox



17.08.2021 13:02 S:\user\groups\sz\public\Artikel_Baugruppen\12000-12999\12800-12999\12894\12894-00\Design_Daten\ZMX-Teststand_Adapter\12894-00.sch (Sheet: 1/1)

A.2.4 Layout der Adapterleiterplatte der Testbox



Erklärung zur selbstständigen Bearbeitung einer Abschlussarbeit

Hiermit versichere ich, dass ich die vorliegende Arbeit ohne fremde Hilfe selbstständig verfasst und nur die angegebenen Hilfsmittel benutzt habe.

Ort

Datum

Unterschrift im Original